

МІНІСТЕРСТВО ОСВІТИ І НАУКИ УКРАЇНИ

Сумський державний університет

Центр заочної, вечірньої та дистанційної форми навчання

Кафедра електроенергетики

«До захисту допущено»

Завідувач кафедри

_____Лебединський І.Л

“_____” “_____” 2024 р

КВАЛІФІКАЦІЙНА РОБОТА

на здобуття освітнього ступеня бакалавр

зі спеціальності 141 – “Електроенергетика, електротехніка та електромеханіка” освітньо-професійної програми “Електротехнічні системи електроспоживання” на тему: “Аналіз організаційних заходів по зменшенню втрат електроенергії в мережі і розрахунок її параметрів”

Студента групи ЕТдн-04п Кізіма Вадима Юрійовича

Кваліфікаційна робота містить результати власних досліджень. Використання ідей, результатів і текстів інших авторів мають посилання на відповідне джерело.

_____ Кізім В. Ю

(підпис)

Керівник: завідувач кафедри, к.т.н., доцент Лебединський І.Л _____

(підпис)

Суми – 2024

ЗАВДАННЯ
на кваліфікаційну роботу бакалавра

Кізіма Вадима Юрійовича

1 Тема роботи “Аналіз організаційних заходів по зменшенню втрат електроенергії в мережі і розрахунок її параметрів”

затверджено наказом по університету №_____ від _____

2 Термін здачі роботи

3 Вихідні дані до роботи: задана схема електричної мережі, споживачі мережі, їх потужність і категорія

4 Зміст розрахунково-пояснювальної записки

- розрахунок електричної мережі;
- розрахунок електричної частини підстанції;
- розрахунок релейного захисту;
- аналіз структури заходів щодо зниження втрат електроенергії”

5 Перелік графічного матеріалу

- схема мережі;
- електрична схема підстанції.

Календарний план

№ п/п	Назва етапів роботи	Термін виконання етапів роботи	Примітка
1	Розрахунок електричної мережі	27.04.-14.05.2024	
2	Розрахунок електричної частини підстанції	15.05.-21.05.2024	
3	Розрахунок релейного захисту	22.05.-28.05.2024	
4	Аналіз втрат в районних електрических мережах та заходів щодо їх зменшення	29.05.-05.06.2024	
5	Оформлення роботи	1.06.-7.06.2024	

Студент гр ЕТдн-04п_____

Кізім В. Ю

Керівник роботи _____

Лебединський І.Л.

РЕФЕРАТ

с. 64, рис. 12, табл. 25, кресл. 2.

Бібліографічний опис: “Аналіз організаційних заходів по зменшенню втрат електроенергії в мережі і розрахунок її параметрів” [Текст]: робота на здобуття кваліфікаційного ступеня бакалавра; спеціальність 141 – “Електроенергетика, електротехніка та електромеханіка”; Освітня програма “Електротехнічні системи електроспоживання” / Кізім В. Ю; керівник І. Л. Лебединський. - Суми: СумДУ, 2024. - 64 с.

Ключові слова: електрична мережа, споживач, категорія, потужність, трансформатор, ЛЕП, провід, опір, напруга, схема заміщення, потокорозподіл, вимикач, роз'єднувач, трансформатор струму, трансформатор напруги, трифазне коротке замикання, диференціальний струмовий захист трансформатора, втрати потужності в мережі.

electric network, consumer, category, power, transformer, power line, wire, resistance, voltage, equivalent circuit, flow distribution, switch, disconnector, current transformer, voltage transformer, three-phase short circuit, transformer differential current protection, power loss in the network.

Короткий огляд – Розрахунок режимів роботи електричної мережі. Розрахунок струмів короткого замикання. Розрахунок електричної частини підстанції. Розрахунок релейного захисту силового трансформатора. Аналіз втрат в районних електрических мережах і заходи щодо їх зменшення

Перелік умовних позначень

ПС – понижувальна підстанція

ПЛ – повітряна лінія

ВН – вища напруга

СН – середня напруга

НН – низька напруга

РЕМ – розподільні електричні мережі

ТВЕ – технічні втрати електроенергії

ТС – трансформатор струму

ТН – трансформатор напруги

КЗ – коротке замикання

РПН – регулювання під навантаженням

РП – розподільний пристрій

СКЗ – струм короткого замікання

ПУЕ – Правила улаштування електроустановок

ГАЕС – гідроакумулююча електростанція

ТРЕ – технологічні витрати електроенергії

ЛЕП – лінії електропередач

МСЗ – максимальний струмовий захист

ЗМІСТ

Інв.№ Подпіл.	Подпись и дата Инв.№ Подпись и дата	Взам.инв.№ Подпись и дата	Інв.№ Подпись и дата	Подпись и дата																																			
БР.5.6.141.438.ПЗ.ЕТ																																							
<table border="1" style="width: 100%; border-collapse: collapse;"> <tr> <td style="width: 10%;"></td> </tr> <tr> <td>Вим</td> <td>Арк</td> <td>№ докум.</td> <td>Підпис</td> <td>Дата</td> </tr> <tr> <td>Розроб.</td> <td colspan="4">Кізім В. Ю</td> </tr> <tr> <td>Перев.</td> <td colspan="4">Лебединский И.</td> </tr> <tr> <td>Нач.бюро</td> <td colspan="4"></td> </tr> <tr> <td>Н. контр.</td> <td colspan="4"></td> </tr> <tr> <td>Затв.</td> <td colspan="4">Лебединский И.</td> </tr> </table>										Вим	Арк	№ докум.	Підпис	Дата	Розроб.	Кізім В. Ю				Перев.	Лебединский И.				Нач.бюро					Н. контр.					Затв.	Лебединский И.			
Вим	Арк	№ докум.	Підпис	Дата																																			
Розроб.	Кізім В. Ю																																						
Перев.	Лебединский И.																																						
Нач.бюро																																							
Н. контр.																																							
Затв.	Лебединский И.																																						
<p>“ Аналіз організаційних заходів по зменшенню втрат електроенергії в мережі і розрахунок її параметрів”</p> <p>СумДУ ЕГДн-04п</p>																																							
<table border="1" style="width: 100%; border-collapse: collapse;"> <tr> <td style="width: 10%;">Літ.</td> <td style="width: 10%;">Аркуш</td> <td style="width: 10%;">Аркушів</td> </tr> <tr> <td>У</td> <td>5</td> <td>64</td> </tr> </table>					Літ.	Аркуш	Аркушів	У	5	64																													
Літ.	Аркуш	Аркушів																																					
У	5	64																																					

3.3	Визначення диференційного струмового захисту трансформатора, що виконаний з реле типу ДЗС-21.....	39
3.4	Забезпечення захисту від надструмів при зовнішніх КЗ.....	47
4	Розгляд організаційних заходів для зменшення втрат електричної енергії в мережі.....	49
4.1	Вивід з роботи трансформаторів на підстанціях з сезонним навантаженням.....	49
4.2	Нівелювання навантажень фаз в електричних мережах 0,38 кВ.....	53
4.3	Виключення неякісних з'єднань проводів ліній.....	54
4.4	Пониження витрат електроенергії для власних потреб підстанцій....	55
4.5	Зменшення часу на технічне обслуговування і ремонт основного обладнання електричних мереж.....	56
4.6	Проведення робіт під напругою.....	57
4.7	Ввід до роботи невикористовуваних коштів автоматичного регулювання напруги (APH).....	58
	Висновки	60
	Література.....	61
	Додаток А.....	63
	Додаток Б.....	64

Ізм	Лист	№ докум.	Подпись	Дата

Вступ

З розвитком промисловості в країні з'являються все більше і більше нових підприємств, які потребують збільшення енергоспоживання. Важливо сказати, що збільшується число об'єктів енергоспоживання, збільшується щільність географічного розміщення споживачів електроенергії. А тому з'являється потреба в розширенні існуючих мереж і створенні нових. Зростаюча об'єктів живлення призводить до зростання переданих по електромережах потужностей. Одне з найголовніших завдань на сьогодні - економічно використовувати вже існуюче електричного обладнання та проводити розробку нового з поліпшеними параметрами.

Метою іконання бакалаврської роботи є:

- отримання досвіду аналізу отриманих результатів, складання висновків та публічний захист виконаної роботи;
- отримання навичок використання набутих знань під час вирішування конкретних практичних і науково-технічних завдань;
- отримання досвіду складання технічної документації - пояснівальної залишки і креслень за умовами діючих стандартів;
- систематизація, закріплення та поглиблення теоретичних і практичних знань із загальнотехнічних і спеціальних дисциплін з напряму професійної підготовки.

В ході виконання роботи вирішуються слідуючі завдання:

- розрахунок електричної мережі, яка складається з джерела живлення, ліній електропередачі, трансформатора і навантаження (споживачів електроенергії);
- розрахунок електричної частини підстанції;
- розрахунок електромагнітних перехідних процесів в мережі (розрахувати симетричне коротке замикання на шинах вищої напруги підстанції);
- розрахунок релейного захисту високовольтної лінії;

Ізм	Лист	№ докум.	Подпись	Дата
-----	------	----------	---------	------

– аналіз організаційних заходів щодо зменшення втрат електроенергії в межах

1 Визначення режимів роботи ліній та трансформаторів підстанцій

Початкови дані

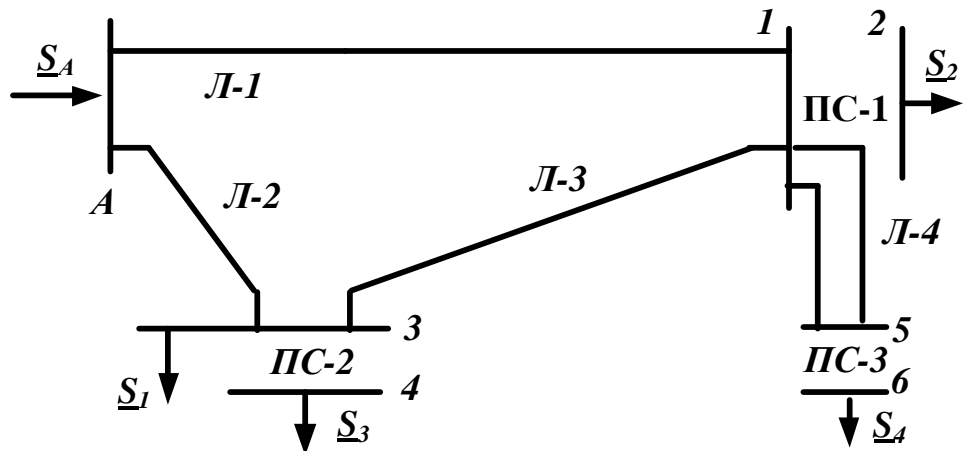


Рисунок 1.1 – Однолінійна електрична схема заданої електричної мережі
На рисунку 1.1 представлена схема з'єднань заданої електричної мережі.
Ця мережа живиться від джерела напруги А.

Таблиця 1.1 - Вихідні дані до схеми

Довжина ПЛ, км				Потужності завантажень вузлів, МВА			
Л-1	Л-2	Л-3	Л-4	S_1	S_2	S_3	S_4
30	35	25	30	$\underline{25+j20}$ I	$45+j35$ II	$30+j20$ II	$20+j15$ II

1.1 Вибір напруг для ліній

Приймемо, що навантаження вузла 2 рівне навантаженню вузла 5, вузла 1 - рівне навантаженню вузла 4, а навантаження вузла 3 рівне навантаженню вузлів 8 та 4.

Визначимо розрахункові навантаження вузлів електромережі [1]:

$$\underline{S}_{1P} = \underline{S}_2 + \underline{S}_4 = 65 + j50 \text{ } MBA;$$

$$S_{3P} = S_1 + S_3 = 55 + j40 \text{ MBA};$$

Зобразимо замкнуту мережу, яка складається з ліній Л-1, Л-2, Л-3 (рисунок 1.2).

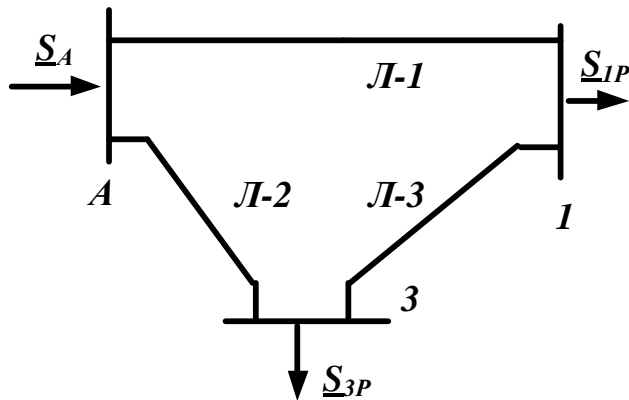


Рисунок 1.2 – Замкнута мережа

Розмикаємо замкнуту мережу, наведену на рисунку 1.2, за джерелом живлення А (рисунок 1.3), позначаємо потужності на ділянці мережі. A' - . A''

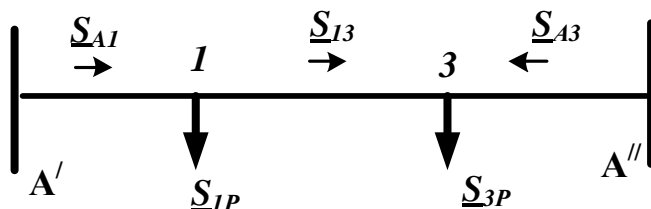


Рисунок 1.3 – Розімкнута мережа

Знаходимо потужності на ділянках розімкнutoї мережі:

$$S_{AI} = \frac{S_{IP} \cdot (l_{I3} + l_{A3}) + S_{3P} \cdot l_{A3}}{l_{AI} + l_{I3} + l_{A3}} = 64,72 + j48,9 \text{ MBA}$$

$$S_{I3} = S_{AI} - S_{IP} = -0,277 - j1,11 \text{ MBA}$$

$$S_{A3} = \frac{S_{3P} \cdot (l_{I3} + l_{AI}) + S_{IP} \cdot l_{AI}}{l_{AI} + l_{I3} + l_{A3}} = 55,278 + j41,11 \text{ MBA}$$

Складаємо рівняння балансу потужності:

$$S_{AI} + S_{A3} = S_{IP} + S_{3P}$$

$$120+j90 = 120+j90$$

Знаходимо напруги на ділянках замкнutoї мережі (рисунок 1.2) [2].

Ізм	Лист	№ докум.	Подпись	Дата

$$U_L = \frac{1000}{\sqrt{\frac{500}{L} + \frac{2500}{P_L}}}.$$

Таблиця 1.2 – Напруги на ділянках мережі

Номер ділянки	Л-1	Л-2	Л-3	Л-4
Довжина ділянки, км	15	40	30	40
Напруга ділянки, кВ	134,5	129,58	6	84

Приймаємо напругу в замкнутій мережі - 110 кВ.

Знаходимо струми проводів ліній:

$$I = \frac{S_L}{\sqrt{3}U_L}$$

Таблиця 1.3 – Струми на ділянках мережі

Лінія	Л-1	Л-2	Л-3	Л-4
Струм, кА	0,426	0,362	0,006	0,131

Вибираємо марки проводів [3]:

Таблиця 1.4 – Марка проводів

Лінія	Л-1	Л-2	Л-3	Л-4
Марка і переріз проводу	AC-120/19	AC-120/19	AC-120/19	AC-95/16

Таблиця 1.5 – Технічні дані проводу AC-120/19

Переріз проводу, мм^2	Тривалий до-пустимий струм, A	Діаметр проводу, мм	$r_0, \text{Ом}/\text{км}$, при $+20^\circ C$	110 кВ	
				$x_0, \text{Ом}/\text{км}$	$b_0, 10^{-6} \text{ См}/\text{км}$
120/19	390	14,4	0,249	0,427	2,66
95/16	330	12,3	0,306	0,434	2,61

1.2 Проведення розрахунку потужностей трансформаторів підстанцій

Підстанція ПС-1

Потрібно два трансформатори [4], тому що споживач першої категорії. Потужність одного трансформатора ПС-1 визначається за формулою:

$$S_{T1} = \frac{S_2}{1,4} = \frac{\sqrt{45^2 + 35^2}}{1,4} = 40,72 \text{ MBA}$$

Обираємо трансформатор ТРДН--40000/110 [3] по напрузі мережі і розрахунковій потужності.

Розраховуємо коефіцієнт завантаження трансформатора:

$$K_{3AB} = \frac{S_2}{2 \cdot S_{T1}} = \frac{\sqrt{45^2 + 35^2}}{2 \cdot 40} = 0,71$$

Коефіцієнт завантаження є меншим 0,75, значить, два паралельно працюючі трансформатори ТРДН--40000/110 задовільняють вимогам, що пред'являються.

Таблиця 1.6 – Технічні дані трансформатора ТРДН--40000/110 [5]

Межі регулювання	Каталожні дані						Розрахункові дані		
	U _{НОМ} обмоток, кВ		U _K , %	ΔP _K , кВт	P _X , кВт	I _X , %	R _T , Ом	X _T , Ом	ΔQ _X , кВАр
	ВН	НН							
±9*1,7 8%	115	10,5/10,5	10,5	172	36	0,65	1,4	34,7	260

Підстанція ПС-2

Потрібно два трансформатори, тому що споживач другої категорії [4].

Потужність одного трансформатора ПС-2 визначається за формулою:

$$S_{T2} = \frac{S_3}{1,4} = \frac{\sqrt{30^2 + 20^2}}{1,4} = 25,75 \text{ MBA}$$

Обираємо триобмотковий трансформатор ТРДН-25000/110 [4] по напрузі мережі та розрахунковій потужності.

Знаходимо коефіцієнт завантаження трансформатора:

$$K_{3AB} = \frac{S_3}{2 \cdot S_{T2}} = \frac{\sqrt{30^2 + 20^2}}{2 \cdot 25} = 0,72$$

Ізм	Лист	№ докум.	Подпись	Дата

Коефіцієнт завантаження є меншим 0,75, значить, два паралельно працюючі трансформатори ТРДН -25000/110 задовольняють вимогам, які пред'явлени.

Таблиця 1.7 – Технічні дані трансформатора ТРДН -25000/110 [5]

Каталожні дані						Розрахункові дані		
U _{НОМ} обмоток, кВ		U _K , %	ΔP _K , кВт	ΔP _X , кВт	I _X , %	R _T , Ом	X _T , Ом	ΔQ _X , кВАр
ВН	НН							
115	10,5/10,5	10,5	120	27	0,7	2,54	55,9	175

Підстанція ПС-3

Потрібно два трансформатори, тому що споживач другої категорії.

Потужність одного трансформатора ПС-3 визначається за формулою:

$$S_{T_3} = \frac{S_3}{1,4} = \frac{\sqrt{20^2 + 15^2}}{1,4} = 17,85 \text{ MBA}$$

Обираємо трансформатор ТРДН(ТРДНФ)-25000/110 [3] по напрузі мережі таї розрахунковій потужності.

Знайдемо коефіцієнт завантаження трансформатора:

$$K_{3AB} = \frac{S_3}{2 \cdot S_{T_3}} = \frac{\sqrt{20^2 + 15^2}}{2 \cdot 16} = 0,5$$

Коефіцієнт завантаження є меншим 0,7, значить о два паралельно працюючі трансформатори ТРДН(ТРДНФ)-25000/110 задовольняють пред'явлени вимоги.

Таблиця 1.8 – Технічні дані трансформатора ТРДН(ТРДНФ)-25000/110 [5]

Межі регу- лю- вання	Каталожні дані						Розрахункові дані		
	U _{НОМ} обмоток, кВ		U _K , %	ΔP _K , кВт	ΔP _X , кВт	I _X , %	R _T , Ом	X _T , Ом	ΔQ _X , кВАр
	ВН	НН							
±9*1,7 8%	115	10,5/10,5	10,5	120	27	0,7	2,54	55,9	175

1.3 Визначення параметрів ліній

Знайдемо параметри ліній електричної мережі

Величина активних та реактивних опорів ліній та значення зарядної потужності наведені в таблиці 1.10

$$R_L = r_0 \cdot l_L; \quad X_L = x_0 \cdot l_L$$

Таблиця 1.10 – Розрахункові параметри повітряної лінії мережі

Лінія		Л-1	Л-2	Л-3	Л-4
R _L	Ом	7,47	8,7	6,22	9,18
X _L	Ом	12,81	14,94	10,67	13,02

1.4 Визначення навантажень вузлів при урахуванні трансформаторів

Підстанція ПС-1

Знаходимо розрахункову потужність у вузлі 1, враховуючи втрати потужності в обмотках трансформаторів при максимальному навантаженні [6].

Зображаємо схему заміщення двообмоткових трансформаторів.

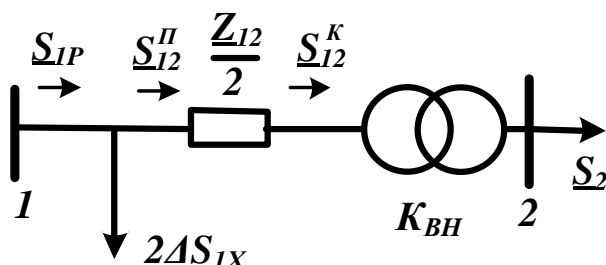


Рисунок 1.4 – Схема заміщення підстанції ПС-1

Знаходимо потужність S_{I2}^K :

$$S_{I2}^K = S_2 = 45 + j35 \text{ MBA}$$

Знаходимо потужність S_{I2}^{π} :

$$S_{I2}^{\pi} = S_{I2}^K + \frac{(P_{I2}^K)^2 + (Q_{I2}^K)^2}{U_H^2} \cdot \frac{Z_{I2}}{2} = 45,19 + j39,66 \text{ MBA}$$

Знаходимо потужність S'_{1P} :

$$S'_{1P} = S_{I2}^{\pi} + 2A S_{IX} = 45,26 + j40,95 \text{ MBA}$$

Підстанція ПС-3

Знаходимо розрахункову потужність у вузлі 3, враховуючи втрати потужності в обмотках трансформаторів при максимальному навантаженні.

Зобразимо схему заміщення двообмоткових трансформаторів (рис 1.6) [6].

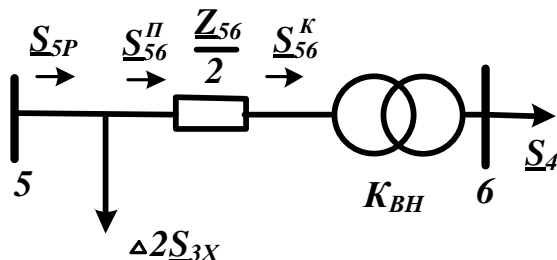


Рисунок 1.6 – Схема заміщення підстанції ПС-3

Знаходимо потужність \underline{S}_{56}^K :

$$\underline{S}_{56}^K = \underline{S}_3 = 20 + j15 \text{ MBA}$$

Знаходимо потужність \underline{S}_{56}^Π :

$$\underline{S}_{56}^\Pi = \underline{S}_{56}^K + \frac{(P_{56}^K)^2 + (Q_{56}^K)^2}{U_H^2} \cdot \frac{\underline{Z}_{56}}{2} = 20,08 + j21,44 \text{ MBA}$$

Знаходимо потужність \underline{S}_{5P} :

$$\underline{S}_{5P} = \underline{S}_{56}^\Pi + 2\Delta\underline{S}_{3X} = 20,12 + j21,79 \text{ MBA}$$

Розрахунок лінії 3-5

Схема заміщення лінії наведена на рисунку 1.7

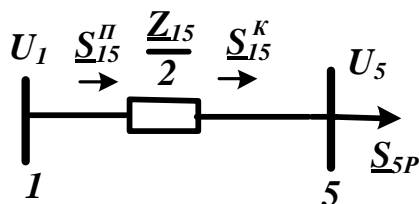


Рисунок 1.7 – Схема заміщення лінії 3–5

Знаходимо потужність \underline{S}_{15}^K :

$$\underline{S}_{15}^K = \underline{S}_{5P} = 20,12 + j21,79 \text{ MBA}$$

Ізм	Лист	№ докум.	Подпись	Дата

Знаходимо потужність \underline{S}_{15}^{Π} :

$$\underline{S}_{15}^{\Pi} = \underline{S}_{15}^K + \frac{(\underline{P}_{15}^K)^2 + (\underline{Q}_{15}^K)^2}{U_H^2} \cdot \frac{\underline{Z}_{15}}{2} = 20,45 + j22,27 \text{ MBA}$$

Знаходимо потужність \underline{S}_{IP} :

$$\underline{S}_{IP} = \underline{S}_{I/P} + \underline{S}_{15}^{\Pi} = 65,71 + j63,23 \text{ MBA}$$

Підстанція ПС-2

Знаходимо розрахункову потужність у вузлі 3, враховуючи втрати потужності в обмотках трансформаторів при максимальному навантаженні.

Зобразимо схему заміщення двообмоткових трансформаторів (рис 1.8) [6].

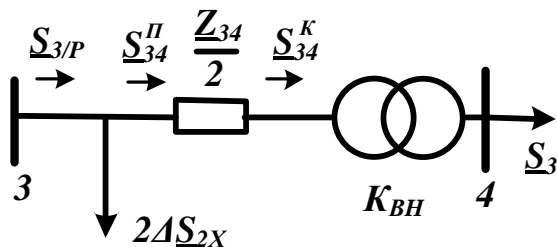


Рисунок 1.8 – Схема заміщення підстанції ПС-2

Знаходимо потужність \underline{S}_{34}^K :

$$\underline{S}_{34}^K = \underline{S}_3 = 30 + j20 \text{ MBA}$$

Знаходимо потужність \underline{S}_{34}^{Π} :

$$\underline{S}_{34}^{\Pi} = \underline{S}_{34}^K + \frac{(\underline{P}_{34}^K)^2 + (\underline{Q}_{34}^K)^2}{U_H^2} \cdot \frac{\underline{Z}_{34}}{2} = 30,14 + j23 \text{ MBA}$$

Знаходимо потужність \underline{S}_{3P} :

$$\underline{S}_{3P} = \underline{S}_{34}^{\Pi} + 2A \underline{S}_{2X} + \underline{S}_1 = 55,19 + j43,35 \text{ MBA}$$

1.5 Визначення потужностей на ділянках замкнутої мережі при врахуванні втрати потужності в трансформаторах

$$\underline{S}_{A1} = \frac{\underline{S}_{IP} \cdot (l_{I3} + l_{A3}) + \underline{S}_{3P} \cdot l_{A3}}{l_{A1} + l_{I3} + l_{A3}} = 65,27 + j59,01 \text{ MBA}$$

$$\underline{S}_{I3} = \underline{S}_{A1} - \underline{S}_{IP} = -0,44 - j4,22 \text{ MBA}$$

Ізм	Лист	№ докум.	Подпись	Дата

$$\underline{S}_{A3} = \frac{\underline{S}_{3P} \cdot (l_{13} + l_{A1}) + \underline{S}_{IP} \cdot l_{A1}}{l_{A1} + l_{13} + l_{A3}} = 55,63 + j47,57 \text{ MBA}$$

Складаємо рівняння балансу потужності [7]:

$$\underline{S}_{A1} + \underline{S}_{A3} = \underline{S}_{IP} + \underline{S}_{3P}$$

$$120,9 + j106,58 = 120,9 + j106,58$$

Баланс потужності зійшовся.

Потужність ділянки 1-3 є позитивною, а тому точка 3 являється точкою потокорозподілу. Складемо розрахункову розімкнену схему заміщення мережі (рис. 1.9)

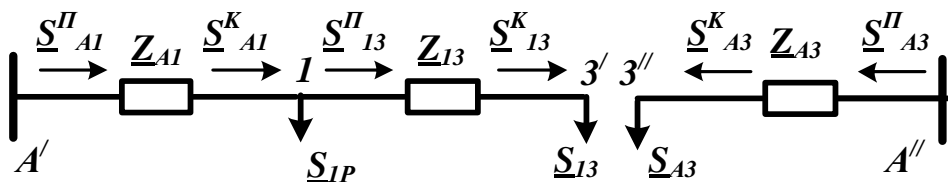


Рисунок 1.9 – Розімкнuta мережа

Визначаємо потокорозподіл у двох схемах заміщення, що приведені на рисунку 1.9. Визначемо потужність джерела \underline{S}_A :

$$\underline{S}_{13}^K = \underline{S}_{13} = -0,44 - j4,22 \text{ MBA}$$

$$\underline{S}_{13}^{\Pi} = \underline{S}_{13}^K + \frac{(\underline{P}_{13}^K)^2 + (\underline{Q}_{13}^K)^2}{U_H^2} \cdot \underline{Z}_{13} = -0,43 - j4,2 \text{ MBA}$$

$$\underline{S}_{A1}^K = \underline{S}_{13}^{\Pi} + \underline{S}_{IP} = 65,28 + j59,03 \text{ MBA}$$

$$\underline{S}_{A1}^{\Pi} = \underline{S}_{A1}^K + \frac{(\underline{P}_{A1}^K)^2 + (\underline{Q}_{A1}^K)^2}{U_H^2} \cdot \underline{Z}_{A1} = 70,06 + j67,23 \text{ MBA}$$

$$\underline{S}_{A3}^K = \underline{S}_{A3} = 55,63 + j47,57 \text{ MBA}$$

$$\underline{S}_{A3}^{\Pi} = \underline{S}_{A3}^K + \frac{(\underline{P}_{A3}^K)^2 + (\underline{Q}_{A3}^K)^2}{U_H^2} \cdot \underline{Z}_{A3} = 59,49 + j54,19 \text{ MBA}$$

$$\underline{S}_A = \underline{S}_{A1}^{\Pi} + \underline{S}_{A3}^{\Pi} = 129,57 + j121,41 \text{ MBA}$$

1.6 Розрахування напруг у вузлах навантаження

Ізм	Лист	№ докум.	Подпись	Дата

Допустимо, що напруга джерела живлення на десять відсотків є найбільшою номінальної напруги мережі $U_A = 121$ В [6]

Знайдемо напругу вузла 1:

$$U_1 = U_A - \frac{P_{A1}^{\pi} R_{A1} + Q_{A1}^{\pi} X_{A1}}{U_A} = 109,56 \text{ кВ}$$

Визначимо напругу вузла 3':

$$U'_3 = U_1 - \frac{P_{I3}^{\pi} R_{I3} + Q_{I3}^{\pi} X_{I3}}{U_1} = 109,99 \text{ кВ}$$

Знайдемо напругу вузла 3'':

$$U''_3 = U_A - \frac{P_{A3}^{\pi} R_{A3} + Q_{A3}^{\pi} X_{A3}}{U_A} = 110,02 \text{ кВ}$$

Знайдемо середнє значення напруги вузла 3:

$$U_{3,CEP} = (U'_3 + U''_3)/2 = 110,07 \text{ кВ}$$

Знайдемо напруги на низькій стороні трансформаторних підстанцій, як приведені до високої сторони.

ПС–1

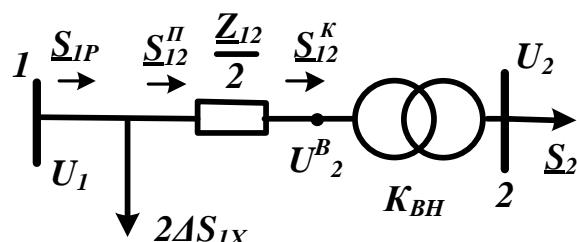


Рисунок 1.9 – Схема заміщення ПС–1 для визначення напруги $U_B^B_2$

$$U_B^B_2 = U_1 - \frac{P_{I2}^{\pi} \frac{R_{I2}}{2} + Q_{I2}^{\pi} \frac{X_{I2}}{2}}{U_1} = 102,99 \text{ кВ}$$

ПС–2

Ізм	Лист	№ докум.	Подпись	Дата
-----	------	----------	---------	------

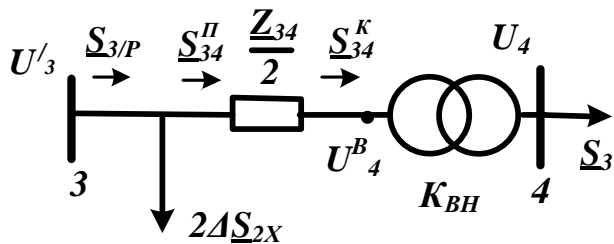


Рисунок 1.10 – Схема заміщення **ПС-2** для визначення напруги U_4^B

$$U_4^B = U_3 - \frac{P_{34}^P \frac{R_{34}}{2} + Q_{34}^P \frac{X_{34}}{2}}{U_3} = 103,81 \text{ кВ}$$

Лінія 1–5:

$$U_5 = U_1 - \frac{P_{15}^P \frac{R_{15}}{2} + Q_{15}^P \frac{X_{15}}{2}}{U_3} = 107,38 \text{ кВ}$$

ПС-3

$$U_6^B = U_5 - \frac{P_{56}^P \frac{R_{56}}{2} + Q_{56}^P \frac{X_{56}}{2}}{U_5} = 101,56 \text{ кВ}$$

Знайдемо реальні напруги на низькій стороні підстанцій з урахуванням реального коефіцієнта трансформаторів:

ПС-1

$$U_2 = \frac{U_2^B}{\frac{U_B}{U_H}} = 9,4 \text{ кВ}$$

ПС-2

$$U_4 = \frac{U_4^B}{\frac{U_B}{U_H}} = 9,48 \text{ кВ}$$

ПС-3

$$U_6 = \frac{U_6^B}{\frac{U_B}{U_H}} = 9,3 \text{ кВ}$$

Изм	Лист	№ докум.	Подпись	Дата
-----	------	----------	---------	------

2 Визначення параметрів електричної частини підстанції

Тип трансформатора ТРДН – 40000/110;

Потужність трансформатора $S = 40 \text{ МВА}$;

Напруга $U = 110 \text{ кВ}$;

Опір трансформатора $X_T = 34,7 \text{ Ом}$;

Довжина лінії $L_{L1} = 30 \text{ км}$;

Довжина лінії $L_{L3} = 25 \text{ км}$;

Опір лінії $X_{L1} = 12,81 \text{ Ом}$;

Опір лінії $X_{L3} = 10,675 \text{ Ом}$;

Потужність системи $S_C = 210 \text{ МВА}$

2.1 Вибирається головна схема електричних з'єднань підстанції

Головна схема електричних з'єднань повинна відповісти слідуючим вимогам:

- забезпечення надійності електропостачання в нормальніх та післяаварійних режимах;
- врахування перспектив розвитку;
- допущення можливостей розширення;
- забезпечення можливості виконання ремонтних та експлуатаційних робіт на окремих елементах схем (без відключення приєднань).

При цьому важливе застосування найпростіших схем. Для тупикової схеми рекомендоване застосування схеми «два блоки з вимикачем в колах трансформатора і неавтоматичною перемичкою».

Зважаючи, що РП, яка розглядається, має мале число приєднань - доцільним буде застосування спрощеної схеми без збірних шин з короткими перемичками між приєднаннями.

Ізм	Лист	№ докум.	Подпись	Дата
-----	------	----------	---------	------

2.2 Вибираємо трансформаторів власних потреб

Вибраємо число трансформаторів власних потреб та їх потужність, а також вимірювальні трансформатори струму і напруги.

Приймачі власних потреб - це оперативні кола, електродвигуни системи охолодження силових трансформаторів, освітлення і електроопалення приміщень, електропідігрів комутаційної апаратури та ін.

Сумарну розрахункову потужність приймача власних потреб потрібно визначати з урахуванням коефіцієнта попиту. Розрахунок потужності приймача власних потреб наведено в таблиці.

Таблиця 2.1 – Розрахунок потужності приймача власних потреб

№ з/п	Найменування спожи- вача	Кількість одиниць	Потуж- ність оди- ниць, кВт	Коеф. попиту	$\cos \phi$	Споживана потужність, кВт
1	Охолодження транс- форматорів	2	3	0,82	0,82	5,72
2	Підігрів високо-вольт- них вимикачів зовнішньої установки	2	1,8	1	1	3,6
3	Підігрів приводів розв'єднувачів зовнішньої установки	6	0,6	1	1	3,6
4	Опалення, освітлення, вентиляція закритого РП	1	5	0,65	0,95	3,42
5	Освітлення РП	1	2	0,65	0,93	1,35
Сумарне навантаження власних потреб, кВА						17,7

На підстанції передбачена установка двох трансформаторів власних потреб.

Номінальна потужність обирається за умови:

$$S_{\text{твн}} \geq S_{\text{вн}},$$

де $S_{\text{твн}}$ – потужність трансформатора власних потреб, кВА;

$S_{\text{вн}}$ – потужність споживачів власних потреб, кВА.

Врашуючи, що $S_{\text{вн}} = 17,7$ кВА, беремо потужність трансформатора власних потреб - 25 кВА. Ремонтне навантаження підстанції - рівним 20 кВА. При

підключення такого навантаження на один трансформатор допустиме його перевантаження на 20 %. Потужність трансформатора для забезпечення живлення навантаження власних потреб (враховуючи ремонтні навантаження):

$$S_{TBP} = \frac{S_{THP} + S_{BP}}{1,2} = \frac{20 + 17,7}{1,2} = 31,4 \text{ кВА.}$$

Стандартна потужність трансформатора - 40 кВА. Отже, для живлення споживачів власних потреб приймаємо два трансформатори ТМ-40/10

2.3 Визначення струмів короткого замикання

Визначення струмів короткого замикання необхідне для вірного вибору обладнання на стороні 110 кВ та 10 кВ. Живлення підстанці - за двома лініями. Схема заміщення для розрахунку струмів короткого замикання наведена на рис. 2.1.

Розрахунок струмів короткого замикання виконаємо в іменованій системі одиниць. Потужність короткого замикання на шинах 110 кВ центру живлення складає $S_C=230$ МВА.

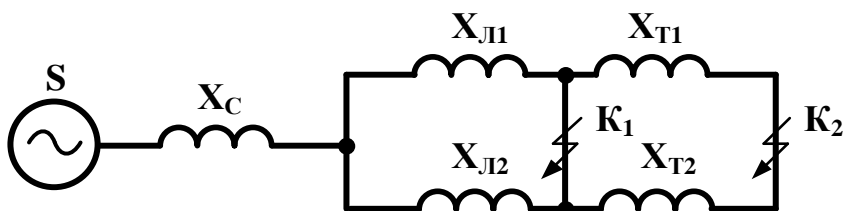


Рисунок 2.1 - Схема заміщення для розрахунку струмів короткого замикання

Опір системи дорівнює:

$$X_c = \frac{U_L^2}{S_c} = \frac{110^2}{210} = 57,62 \text{ Ом}$$

Опір працюючих

– ліній $X_{L1} = 12,81$ Ом, $X_{L1} = 10,67$ Ом,

– трансформаторів $X_T = \frac{X}{2} = \frac{34,7}{2} = 17,35$ Ом

Ізм	Лист	№ докум.	Подпись	Дата

Періодична складова СКЗ в точці K₁:

$$I_{K1(1)} = \frac{U}{\sqrt{3} \cdot (X_C + X_L)} = \frac{110}{\sqrt{3} \cdot (57,62 + 12,81)} = 0,9 \text{ kA}$$

$$I_{K1(2)} = \frac{U}{\sqrt{3} \cdot (X_C + X_{L2})} = \frac{110}{\sqrt{3} \cdot (57,62 + 10,67)} = 0,93 \text{ kA}$$

$$I_{K1} = I_{K1(1)} + I_{K1(2)} = 1,83 \text{ kA}$$

Те ж в точці K₂ приведена до напруги вищої сторони:

$$I_{K2(1)}^B = \frac{U}{\sqrt{3} \cdot (X_C + X_L + X_T)} = \frac{110}{\sqrt{3} \cdot (57,62 + 12,81 + 17,35)} = 0,72 \text{ kA},$$

$$I_{K2(2)}^B = \frac{U}{\sqrt{3} \cdot (X_C + X_L + X_T)} = \frac{110}{\sqrt{3} \cdot (57,62 + 12,81 + 10,67)} = 0,74 \text{ kA}$$

$$I_{K2}^B = I_{K2(1)}^B + I_{K2(2)}^B = 1,46 \text{ kA}$$

реальний СКЗ в точці K₂

$$I_{K2} = I_{K2}^B \cdot \frac{110}{10} = \frac{1,467 \cdot 110}{10} = 16,07 \text{ kA}$$

Ударний струм:

- в точці K₁: $I_{y\vartheta 1} = \sqrt{2} \cdot 1,61 \cdot I_{K1} = \sqrt{2} \cdot 1,61 \cdot 1,83 = 4,16 \text{ kA}$,

- в точці K₂: $I_{y\vartheta 2} = \sqrt{2} \cdot 1,61 \cdot I_{K2} = \sqrt{2} \cdot 1,61 \cdot 16,07 = 36,47 \text{ kA}$.

Припустимо, що амплітуда ЕРС і періодична складова СКЗ незмінні за часом, тому через час, рівний часу відключення:

для точки K₁: $I_{n\tau 1} = I_{K1} = 1,83 \text{ kA}$;

для точки K₂: $I_{n\tau 2} = I_{K2} = 16,07 \text{ kA}$.

Аперіодична складова СКЗ до моменту розбіжності контактів вимикача:

$$i_a = \sqrt{2} \cdot e^{-\frac{t}{T_a}} \cdot I_K,$$

де T_a – постійна часу загасання аперіодичної складової (для K₁ – $T_a = 0,025 \text{ с}$, для

$$K_2 - T_a = 0,05 \text{ с});$$

t – розрахунковий час розбіжності контактів після початку КЗ. Для вимикачів на високій стороні $t = 0,06 \text{ с}$, на низькій стороні $t = 0,1 \text{ с}$.

Ізм	Лист	№ докум.	Подпись	Дата
-----	------	----------	---------	------

Для точки K_1 :

$$i_{a1} = \sqrt{2} \cdot e^{\frac{-t}{T_a}} \cdot I_{K1} = \sqrt{2} \cdot e^{\frac{-0,06}{0,025}} \cdot 1,83 = 0,23 \text{ кA}.$$

Для точки K_2 :

$$i_{a2} = \sqrt{2} \cdot e^{\frac{-t}{T_a}} \cdot I_{K2} = \sqrt{2} \cdot e^{\frac{-0,1}{0,05}} \cdot 16,07 = 3,06 \text{ кA}.$$

Інтеграл Джоуля:

для сторони ВН (точка K_1):

$$B_R = I_{K1}^2 \cdot (t + T_a) = 1,83^2 \cdot (0,06 + 0,025) = 0,29 \text{ кA}^2 \text{c},$$

для сторони НН (точка K_2):

$$B_R = I_{K2}^2 \cdot (t + T_a) = 16,07^2 \cdot (0,1 + 0,05) = 38,72 \text{ кA}^2 \text{c}.$$

Результати розрахунку зведені в табл. 2.2

Таблиця 2.2 – Результати розрахунку

Струми короткого замикання	СКЗ в поч. момент часу кА	Ударний СКЗ i_y , кА	СКЗ в момент витрати контактів викл. кА	Аперіод. Складова СКЗ, i_a кА	Інтеграл Джоуля B_R , кA ² c
Шини 110 кВ (K_1)	1,83	4,16	1,83	0,23	0,286
Шини 10 кВ (K_2)	16,07	36,47	16,07	3,06	38,72

2.4 Вибираємо високовольтних електричних апаратів РП та струмоведучих частин

Високовольтні електричні апарати обираємо за умови тривалого режиму роботи та перевіряємо за умовами коротких замикань. При цьому для апаратів виконуємо:

- вибір за напругою;
- вибір по нагріванню при тривалих токах;
- перевірку на електродинамічну стійкість;

Изм	Лист	№ докум.	Подпись	Дата

перевірку на термічну стійкість;

вибір щодо виконання (для зовнішньої або внутрішньої установки).

Вибору підлягають:

вимикачі на боці високої напруги;

вступні вимикачі на боці 10 кВ;

секційні вимикачі на боці 10 кВ;

вимикачі ліній, що відходять 10 кВ;

роз'єднувачі високої напруги;

трансформатори струму і напруги 110 і 10 кВ;

ошиновка розподільних пристройів 110 і 10 кВ.

Для вибору апаратів і струмопровідних частин необхідне визначення струмів нормального і післяаварійного режимів. Визначення струмів виконуємо для випадку установки на підстанції силового трансформатора.

Максимальний струм на зовнішній стороні:

$$I_{110MAX} = \frac{1,4 \cdot S_{HOM}}{\sqrt{3} \cdot 110} = \frac{1,4 \cdot 40000}{\sqrt{3} \cdot 110} = 281 \text{ A}.$$

Струм в колі ввідних вимикачів на стороні 10 кВ:

$$I_{10}^{VYIK} = \frac{1,4 \cdot S_{HOM}}{\sqrt{3} \cdot 10 \cdot 2} = \frac{1,4 \cdot 40 \cdot 1000}{1,73 \cdot 10 \cdot 2} = 1,62 \text{ kA}$$

Струм в колі секційного вимикача:

$$I_{10}^{CB} = \frac{0,7 \cdot S_{HOM}}{\sqrt{3} \cdot 10} = \frac{0,7 \cdot 40 \cdot 1000}{1,73 \cdot 10} = 1,62 \text{ kA}$$

Струм в колі лінії, яка відходить (коли на одне приєднання доводиться 3 МВА)

$$I_{10}^{vid} = \frac{3000}{\sqrt{3} \cdot 10} = 173 \text{ A}$$

на стороні вищої напруги рекомендована установка елегазових вимикачів типу 100SFMT63SF.

$U_{HOM} = 110 \text{ kV}$, $I_{HOM} = 1200 \text{ A}$, $I_{HOM.vid} = 63 \text{ kA}$,

$I_{CKB.Pr} = 63 \text{ kA}$, $I_{CKB} = 102 \text{ kA}$, $I_T = 63 \text{ kA}$,

$t_{vikl} = 0,07 \text{ сек}$. $\beta_H = 36 \%$.

Ізм	Лист	№ докум.	Подпись	Дата

$$I_{a\text{ nom.}} = 1,4 \cdot \beta_H \cdot I_{\text{nom..відк.}} / 100 = 1,41 \cdot 36 \cdot 63 / 100 = 32 \text{ кA},$$

$$I^2_T \cdot t_y = 443 \cdot 0,07 = 31 \text{ кA}^2\text{s}.$$

Вибір вимикачів наведено в таблиці 2.3. Каталожні параметри вимикача взяті з [5].

Таблиця 2.3 - Вибір вимикача на стороні 110 кВ

Умова вибору	Розрахункові значення	Каталожні значення
$U_C \leq U_H$	110 кВ	110 кВ
$I_{\text{розр}} \leq I_{\text{ном}}$	281 A	1200 A
$I_{\text{по}} \leq I_{\text{прCKB}}$	2,05 кA	63 кA
$I_{y\vartheta} \leq I_{CKB}$	4,16 кA	102 кA
$I_{n\tau} \leq I_{\text{викл.Ном}}$	1,83 кA	63 кA
$I_{a\tau} \leq I_{a\text{ном}}$	0,23 кA	32 кA
$B_K \leq I_T^2 t_r$	0,286 кA ² s	31,5 кA ² s

Обраний вимикач повністю повинен задовольняти умови вибору.

На стороні низької напруги рекомендовано обирати вакуумні вимикачі.

t – Розрахунковий час розбіжності контактів після початку КЗ.

Для вимикачів на вищій стороні t = 0,06 с, на нижчій стороні t = 0,1 с.

ПВБ - повітряні вимикачі з металевими гасильними камерами. Вимикачі оснащені двохроздривними дугогасильними пристроями одностороннього дуття. Камери (резервуари) стисненим повітрям заповнені постійно та знаходяться під впливом високого потенціалу. Напругу підводять до камер через епоксидні вводи, які захищаються зовні порцеляновими покришками.

Таблиця 2.4 - Вибір вимикачів в колі трансформатора на стороні 10 кВ.

Умова вибору	Розрахункові значення	Каталожні значення
$U_C \leq U_H$	10 кВ	10 кВ
$I_{\text{розр}} \leq I_{\text{ном}}$	1618 A	3150 A

$I_{po} \leq I_{npCKz}$	16,07 кА	80 кА
$I_{y\vartheta} \leq I_{CKB}$	41,79 кА	54,6 кА
$I_{n\tau} \leq I_{викл.ном}$	16,07 кА	31,5 кА
$I_{a\tau} \leq I_{a\text{ном}}$	3,51 кА	8,83 кА
$B_K \leq I_T^2 t_r$	38,72 кА ² с	81 кА ² с

Вибираємо МГГ-10-4000-45УЗ [20]

$$t_{\text{Відк}} = 0,04 \text{ сек}, \beta_H = 20 \text{ \%}.$$

$$I_{a\text{ном.}} = \sqrt{2} \cdot \beta_H \cdot I_{\text{ном.відк.}} / 100 = 1,41 \cdot 20 \cdot 31,5 / 100 = 8,83 \text{ кА},$$

$$I^2 T \cdot t_y = 45^2 \cdot 0,04 = 81 \text{ кА}^2\text{с}.$$

ПВП — повітряний вимикач посилений за швидкістю відновлюальної напруги. Половина розривів вимикачів типу ВВУ-10 шунтується низькоомними резисторами. При відключені обидва головних розриви камери таких вимикачів розмикаються одночасно. Після згасання дуги на розриві, що шунтується резистором, інший розрив відключає супроводжуючий струм, що обмежується цим резистором.

Таблиця 2.5 – Вибір секційного вимикача на стороні 10 кВ.

Умова вибору	Розрахункові значення	Каталожні значення
$U_C \leq U_H$	10 кВ	10 кВ
$I_{pozr} \leq I_{nom}$	1618 А	3150 А
$I_{po} \leq I_{npCKz}$	16,07 кА	80 кА
$I_{y\vartheta} \leq I_{CKB}$	38,72 кА	54,6 кА
$I_{n\tau} \leq I_{викл.ном}$	16,07 кА	31,5 кА
$I_{a\tau} \leq I_{a\text{ном}}$	3,06 кА	8,83 кА

$B_K \leq I_T^2 t_r$	38,72 кА ² с	81 кА ² с
----------------------	-------------------------	----------------------

Обираємо вимикач МГТ –10 –4000 – 45У3

У таблиці 2.6 наведено вибір роз'єднувачів на стороні 110 кВ. Роз'єднувачі потрібно взяти з одним і двома комплектами заземлюючих ножів.

Рекомендовано прийняти до установки на стороні 110 кВ роз'єднувачі типу: РДЗ-110/1000 НУХЛ1.

$U_{\text{ном}} = 110 \text{ кВ}$, $I_{\text{ном}} = 1000 \text{ А}$,

$I_{\text{СКВ.Пр.}} = 80 \text{ кА}$,

$I_{T_r} = 31,5 \text{ кА}$, $t_{\text{TEP}_r} = 3 \text{ сек.}$

$I_{T_3} = 31,5 \text{ кА}$, $t_{\text{TEP}_3} = 1 \text{ сек.}$

$$I^2 T \cdot t_y = 31,2^2 \cdot 3 = 2977 \text{ кА}^2 \text{с.}$$

$$I^2 T \cdot t_y = 31,2^2 \cdot 1 = 992 \text{ кА}^2 \text{с.}$$

Таблиця 2.6 - вибір роз'єднувачів 110 кВ.

Умова вибору	Розрахункові значення	Каталожні значення
$U_C \leq U_H$	110 кВ	110 кВ
$I_{\text{розр}} \leq I_{\text{ном}}$	281 А	1000 А
$I_{y\delta} \leq I_{\text{СКВ}}$	4,16 кА	80 кА
$B_K \leq I_T^2 t_r$	0,286 кА ² с	992 кА ² с

Рекомендовано обрати для установки на стороні 110 кВ роз'єднувачі типу РДЗ-110/1000 НУХЛ1.

$U_{\text{ном}} = 110 \text{ кВ}$, $I_{\text{ном}} = 1000 \text{ А}$,

$I_{\text{СКВ.Пр.}} = 80 \text{ кА}$,

$I_{T_r} = 31,5 \text{ кА}$, $t_{\text{TEP}_r} = 3 \text{ сек.}$

$I_{T_3} = 31,5 \text{ кА}$, $t_{\text{TEP}_3} = 1 \text{ сек.}$

$$I^2 T \cdot t_y = 31,2^2 \cdot 3 = 2977 \text{ кА}^2 \text{с.}$$

Изм	Лист	№ докум.	Подпись	Дата

$$I^2_T \cdot t_y = 31,2^2 \cdot 1 = 992 \text{ кA}^2\text{s.}$$

2.5 Вибираання електровимірювальних трансформаторів струмів та напруг

Для підключення приладів і пристройів релейного захисту необхідно встановити трансформатори струму і напруги. У даній роботі релейний захист детально не розробляємо, а тому перевірку трансформаторів по вторинному навантаженню виконуємо, враховуючи підключення тільки вимірювальних приладів.

У колі силового трансформатора з боку нижчої напруги - амперметр, вольтметр, варметр, лічильники активної і реактивної енергії; на шинах 110 кВ - вольтметр з перемикачем, для вимірювання трьох міжфазних напруг; на секційному вимикачі 10 кВ – амперметр; на відхідних лініях 10 кВ - амперметр, лічильники активної та реактивної енергії.

Трансформатори напруги також обираємо відповідно до вимірювальних приладів і реле, що приєднуються до них. Далі підраховуємо очікуване навантаження і перевіряємо похибку. У нормальному режимі навантаження трансформатора визначаємо споживанням приєднаних приладів та реле. За цими умовами визначається, в якому класі і з якою похибкою працюватимуть обрані трансформатори. Опір проводів від трансформатора напруги до приладів враховувати не будемо. Відповідно до ПУЕ, втрати напруги лічильником не можуть перевищувати 0,5 %, а в проводах щитка – 3 %. За умови міцності, перетин мідних проводів повинен бути не меншим за 1,5 мм², а алюмінієвих – не меншим за 2,5 мм².

Вторинне навантаження трансформаторів напруги наведено в таблиці 2.12.

Таблиця 2.12 – Вторинне навантаження трансформатора напруги

№ з/п	Прилад	Клас	Споживана потужність, Вт
1	Ватметр	Д-305	2
2	Варметр	Д-305	2

3	Ватметр реєструючий	H-348	10
4	Варметр реєструючий	H-348	10
5	Лічильник ватгодин	ZMG405CR	3
6	Лічильник ватгодин реактивний	ZMG405CR	3
7	Вольтметр	Э-378	2
8	Частотомір	Э-371	3

Коефіцієнт потужності вказаних приладів дорівнює 1. Відстань від трансформаторів, встановлених в РП, до щита управління приймемо рівним 50 мм.

Вторинні проводи проектуємо алюмінієвими.

Для установки оберемо трифазні трансформатори НТМИ-10-66.

Таблиця 2.7 - Розрахунок вторинного навантаження трансформатора струму

Прилад	Тип	Клас	Навантаження по фазах		
			A	B	C
Амперметр	Э-335	1	0,5	0,5	0,5
Ватметр	Д-350	1,5	0,5	—	0,5
Варметр	Д-345	1,5	0,5	—	0,5
Лічильник активної енергії	ZMG405CR	1	2,5	—	2,5
Лічильник реактивної енергії	ZMG405CR	1,5	2,5	—	2,5
Сумарне навантаження струму в колі тр-па з боку НН			6,5	0,5	6,5
Сумарне навантаження струму в колі секційн. вимикача на НН			0,5	0,5	0,5
Сумарне навантаження струму в колі силового тр-па з боку ВН			0,5	0,5	0,5
Сумарне навантаження струму в колі лінії, що відходить			0,5	0,5	0,5

Таблиця 2.8 - Обирання трансформатора струму в колі силового трансформатора на стороні вищої напруги.

Умова вибору	Розрахункові зна- чення	Каталожні зна- чення

$U_c \leq U_H$	110 кВ	110 кВ
$I_{розр} \leq I_{ном}$	281 А	1000 А
$i_{y\partial} \leq I_{np.CKB}$	1,83 кА	62-124 кА
$B_K \leq I_T^2 \cdot t_r$	0,286 кА ² с	162,5 кА ² с
$Z_H \leq Z_{н.ном}$	1,25 Ом	4 Ом

Обираємо трансформатор струму елегазовий з порцеляновою ізоляцією ТОГФ-110 (УХЛ1) [20]

Для перевірки за вторинним навантаженням знайдемо опір приладів:

$$Z_{прил} = \frac{S_{прил}}{I^2} = \frac{0,5}{5^2} = 0,02 \text{ Ом}$$

Тоді можливий опір вимірювальних проводів:

$$Z_{np} = Z_{ном} - Z_{прил} - Z_K,$$

де $Z_{ном}$ – номінальний опір навантаження, Ом;

$Z_{прил}$ – опір приладів, Ом;

Z_K – опір контактів, Ом.

$$Z_{ПРИЛ} = 4 - 0,02 - 0,1 = 3,88 \text{ Ом.}$$

Перетин сполучних проводів за умовами механічної міцності повинен бути не меншим за 4 мм² для алюмінієвих жил.

Перетин жил при довжині кабелю $l = 160$ м

$$Z_{np} = \rho \cdot \frac{l}{F},$$

де ρ – питомий опір алюмінію, (0,0283 Ом·мм/м),

F – переріз жил, мм²,

$$Z_{np} = \frac{0,028 \cdot 160}{4} = 1,13 \text{ Ом}$$

Изм	Лист	№ докум.	Подпись	Дата
-----	------	----------	---------	------

Загальний опір кола струму:

$$Z_H = Z_{npil} + Z_K + Z_{np} = 0,02 + 0,1 + 1,13 = 1,25 \text{ Ом},$$

це менш, ніж 4 Ом, що допускаються при роботі трансформатора в класі точності 1.

Трансформатор струму ТОГФ–110(УХЛ1) відповідний до умов вибору.

Таблиця 2.9 – Вибір трансформатора струму в колі силового трансформатора на стороні нижчої напруги.

Умова вибору	Розрахункові значення	Каталожні значення
$U_C \leq U_H$	10 кВ	10 кВ
$I_{pozr} \leq I_{nom}$	1618 А	8000 А
$i_{y\delta} \leq I_{np.CKB}$	16,07 кА	—
$B_K \leq I_T^2 \cdot t_r$	38,72 кА ² с	625 кА
$Z_H \leq Z_{n.nom}$	1,25 Ом	4 Ом

Обираємо трансформатор струму ТВ –10–IV.

Таблиця 2.10 - Вибір трансформатора струму на лінії, що віходить

Умова вибору	Розрахункові значення	Каталожні значення
$U_C \leq U_H$	10 кВ	10 кВ
$I_{pozr} \leq I_{nom}$	1,618 кА	8000 кА
$i_{y\delta} \leq I_{np.CKB}$	16,07 кА	54,6 кА
$B_K \leq I_T^2 \cdot t_r$	38,72 кА ² с	625 кА ² с
$Z_H \leq Z_{n.nom}$	1,25 Ом	4 Ом

Приймаємо до установки трансформатор струму TV-10-IV.

В якості трансформаторів напруги вибираємо на стороні 110 кВ трансформатори ТОГФ-110 (УХЛ1), на стороні 10 кВ - TV-10-IV. Характеристики цих трансформаторів наведені в таблиці 2.11

Таблиця 2.11 – Характеристики вибраних трансформаторів напруги

Тип	Номінальна напруга обмотки			Номінальна потужність, В · А, в класі точності				Мак- сима- льна поту жніст ь, В·А
	перви нної, кВ	основн ої вторин ної, В	додат- кової, В	0, 2	0, 5	1	3	
TV- 10-IV	$\frac{6}{\sqrt{3}}$	$\frac{100}{\sqrt{3}}$	100:3 и ли 100	3 0	50	75	200	400
	$\frac{10}{\sqrt{3}}$			5 0	75	15 0	300	630
	$\frac{15}{\sqrt{3}}$			5 0	75	15 0	300	630
	$\frac{20}{\sqrt{3}}$			5 0	75	15 0	300	630
	$\frac{24}{\sqrt{3}}$			5 0	75	15 0	300	630
ТОГ Ф- 110	$\frac{220}{\sqrt{3}}$	$\frac{220}{\sqrt{3}}$	100:3	—	40 0	60 0	120 0	200 0

2.6 | Обирання ошиновки розподільних пристрой

Зазвичай, ошиновку в розподільчих пристроях (РП) 110 кВ виконують стале-алюмінієвими проводами марки АС. При цьому переріз шин має бути не меншим за 70 mm^2 (з умов коронування). Переріз обирається по довго допустимому струму. Мінімальний переріз, за умови термічної стійкості, визначаємо за формулою:

$$F_{min} = \frac{\sqrt{B_K}}{C} = \frac{\sqrt{38,72}}{91 \cdot 10^{-3}} = 69,14 \text{ mm}^2$$

де $C = 91 \cdot 10^{-3}$ кАс/мм².

Ошиновку закритих РП 10 кВ виконуємо жорсткими шинами. Вибір перерізу також проводимо за допустимим струмом. Жорсткі шини повинні перевірятися на динамічні дії струмів КЗ та на можливе виникнення резонансних явищ. Вказані явища не можуть виникати при КЗ, якщо власна частота коливань шини менша за 30 і більша, ніж 200 Гц. Частоту власних коливань для алюмінієвих шин знаходимо за формулою:

$$f_0 = \frac{173,2}{l^2} \cdot \sqrt{\frac{\gamma}{q}},$$

де l – довжина прольоту між ізоляторами $l = 1,5 \text{ м}$;

γ – момент інерції поперечного перерізу шини щодо осі, перпендикулярної до напрямку згинальної сили, см⁴;

q – поперечний переріз шини, см²

$$\gamma = \frac{b \cdot h^3}{12},$$

де b – товщина шини, см,

h – ширина шини, см.

Изм	Лист	№ докум.	Подпись	Дата
-----	------	----------	---------	------

$$\gamma = \frac{b \cdot h^2}{12} = \frac{10 \cdot 0,8^2}{12} = 0,4266 \text{ см}^4$$

$$f_0 = \frac{173,2}{l^2} \cdot \sqrt{\frac{\gamma}{q}} = \frac{173,2}{1,5^2} \cdot \sqrt{\frac{0,4266}{10}} = 27,7769 \text{ Гц.}$$

Коли $f_0 < 30$ Гц, то резонансні явища в шині при КЗ виникати не будуть.

Умовою механічної міцності шин є:

$$\sigma_{\text{розр}} \leq \sigma_{\text{доп.}}$$

де $\sigma_{\text{розр}}$ – розрахунковий механічний напрямок в матеріалі шин, МПа;

$\sigma_{\text{доп.}} = 75$ МПА – допустиме механічне напруження в матеріалі шин для алюмінієвого сплаву ДДЗТТ.

Розрахункове механічне напруження визначаємо з формули:

$$\sigma_{\text{розр}} = \sqrt{3} \cdot 10^{-6} \cdot \frac{i_y^2 \cdot l^2}{W \cdot a},$$

де $W = b \cdot h^2 / 6$ – момент опору шини,

$a = 0,8 \text{ м}$ – відстань між фазами.

За допустимим опором вибирають алюмінієву шину [100×8] мм, з трьома смугами на фазу.

$$\sigma_{\text{розр}} = \sqrt{3} \cdot 10^{-6} \cdot \frac{i_y^2 \cdot l^2}{W \cdot a} = \sqrt{3} \cdot 10^{-6} \cdot \frac{41,8^2 \cdot 10^6 \cdot 1,2^2}{\left(\frac{0,08^2 \cdot 0,01}{6} \right) \cdot 0,8} = 38,72 \text{ МПа}$$

Умова механічної міцності $\sigma_{\text{розр}} \leq \sigma_{\text{доп.}}$, виконується, так як $38,72 \leq 75$.

Отже, обрані алюмінієві шини прямокутного перерізу [100×8] мм, перевірені на можливість виникнення резонансних явищ і на динамічну стійкість. Вони відповідають необхідним вимогам.

2.7 Складання розподільних пристройів 110 кВ та конструкційна частина

Ізм	Лист	№ докум.	Подпись	Дата

Зазвичай, підстанції (ПС) 110 кВ споруджують відкритими. Рекомендується проектування їх переважно комплектними, виготовлення - заводське.

Закриті ПС напругою 110 кВ допускається споруджувати в наступних випадках:

Розміщення ПС з трансформаторами 16 МВА і вище на службовій території міст, розташування ПС на території міст, якщо це допустиме містобудівними міркуваннями.

Розміщення ПС при великих снігових заметах, в зонах значних промислових викидів і в прибережних зонах зі значно засоленою атмосферою.

На ПС 110 кВ зі спрощеними схемами на боці ВН з мпалою кількістю апаратури, розміщеної в районах із забрудненою атмосферою, рекомендовано відкриту установку обладнання ВН і трансформаторів з посиленою зовнішньою ізоляцією.

На ПС електропостачання промислових підприємств передбачається водяне опалення, яке приєднується до теплових мереж підприємств.

Бідівлі ЗРП (закритих РП) допускається виконувати як окремими, так і зблокованими з будинками РПП,(також і по вертикалі).

КРПЕ напругою 110 кВ і вище приймаються при техніко-економічних обґрунтуваннях в обмежених умовах, а також в районах із забрудненою атмосферою. Трансформатори 110 кВ краще встановлювати відкритими, а в районах із забрудненою атмосферою - з посиленою ізоляцією. В ЗРП 110 кВ та закритих камерах трансформаторів потрібно планувати стаціонарні вантажно-підйомні пристрої, чи можливе застосування вантажопідйомальних машин (самохідних, пересувних) для механізації проведення ремонтів і технічного обслуговування.

2.8 Компонування розподільних пристройів 10 кВ і конструкційна частина

РП 6-10 кВ для комплектних трансформаторів ПС виконують у вигляді КРПН, або КРП, які встановлюють в закритих приміщеннях.

Ізм	Лист	№ докум.	Подпись	Дата

РП 6 і 10 кВ закритого типу (в будинках, в тому числі з ПТБ або полегшених конструкцій типу панелі «сендвіч» і ін.) можуть встановлюватися:

- а) в районах, де за кліматичними умовами (забрудненої атмосфери, наявності снігових заметів, чипилових заносів) неможливе застосування КРПН;
- б) при кількості шаф більш ніж 25;
- в) при наявності техніко-економічного обґрунтування.

В ЗРП 6 і 10 кВ рекомендовано встановлення шаф КРП заводського виготовлення. Для їх ремонту та для зберігання викочуваного візка в ЗРП потрібно передбачити спеціальне місце.

2.9 Заземлюальні пристосування підстанції

Усі електричні частини електроустановок, що нормальню не перебувають під напругою, але через пошкодження ізоляції можуть опинитися під нею, повинні мати надійне з'єднання з землею. Це захисне заземлення.

Заземлення, що призначається для створення нормальних умов роботи апарату чи електроустановки, називається робочим.

Захисту обладнання від пошкодження ударом блискавки забезпечується грозозахистом за допомогою розрядників, стрижневих і тросових блискавковідводів, котрі приєднуються до грозозахисного заземлення. На підстанціях використовують один спільний заземлюальний пристрій.

Ізм	Лист	№ докум.	Подпись	Дата
-----	------	----------	---------	------

3 Визначення релейного захисту

3.1 Функція і область застосування захисту типу ДЗС-21

Диференційний захист типу ДЗС-21 (ДЗС-23) використовується в якості основного захисту силових трансформаторів, автотрансформаторів і блоків генератор-трансформатор, генератор-автотрансформатор у всіх випадках КЗ [11].

Виконується такий захист трифазним, із загальним виходом трьох фаз у ДЗС-21 і пофазним виходом у ДЗС-23, що також дозволяє його використання в якості основного захисту для групи однофазних силових трансформаторів чи автотрансформаторів.

Використовуючи в захисті нові принципи налагодження від кидків намагнічувального струму силових трансформаторів (автотрансформаторів) і перехідних струмів небалансу в поєднанні з використанням гальмування від струмів пілечей захисту для налагодження від сталих і перехідних струмів небалансу, маємо змогу знизити мінімальну уставку по струму спрацьовування захисту до $0,3 \cdot I_{ном}$ трансформатора [11].

Використання напівпровідникової елементної бази дає змогу крім збільшення чутливості в деяких випадках зменшення споживаної захистом потужності колами змінного і постійного струмів і підвищення швидкодії в порівнянні з диференційними захистами на електромеханічних реле типів РНС-560 і ДЗС-11.

Спеціальне виконання вхідних кіл по змінному струму забезпечує правильну роботу захисту при похибці трансформаторів струму до 40 %. Врахування низької споживаної потужності в колах змінного струму може при необхідності надати полегшення при виборі трансформаторів струму для диференційного захисту типу ДЗС-21 (ДЗС-23) за кривими граничної кратності.

Захист типу ДЗС-21 призначається для роботи при живленні від мережі постійного оперативного струму напругою 220, або 110 В, а також від блоків живлення з номінальною вихідною напругою випрямленого струму 110 кВ.

Ізм	Лист	№ докум.	Подпись	Дата
-----	------	----------	---------	------

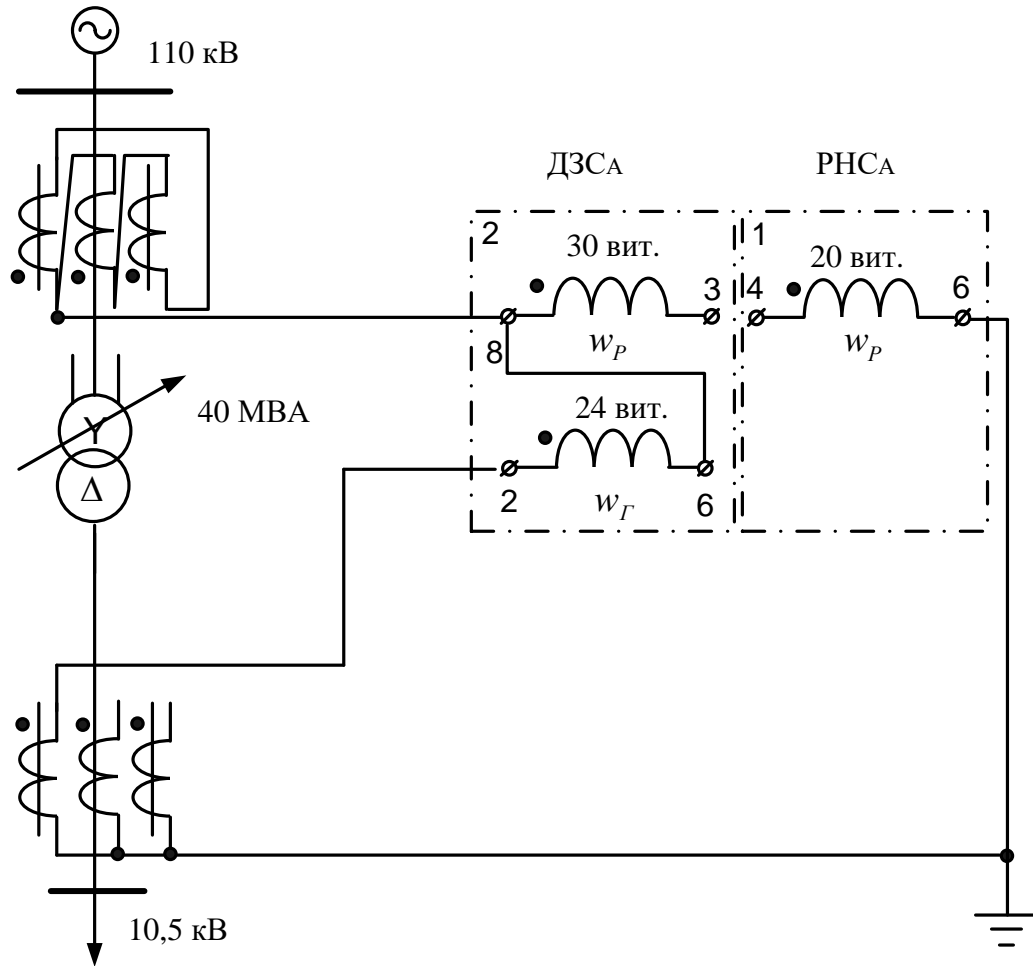


Рисунок 3.1 – Принципова схема включення реле ДЗС-21

3.2 Технічні параметри трансформатора, що захищається

Трансформатор силовий двообмотковий з розщепленою обмоткою низької напруги типу ТРДН-40000/110 призначається для зв'язку електричних мереж напругою 110 і 10 кВ.

Структура умовного позначення:

ТРДН-40000/110

Т – трансформатор;

Р – розщеплена обмотка;

Д – двообмотковий;

Н – з регулюванням напруги під навантаженням;

Изм	Лист	№ докум.	Подпись	Дата
-----	------	----------	---------	------

40000 – номінальна потужність, кВ·А;

110 – клас напруги обмотки ВН, кВ;

Висота установки над рівнем моря - не більше ніж 1000 м. Температура навколошнього повітря - від мінус -45 до $+40^{\circ}\text{C}$.

Таблиця 3.1–Технічні характеристики трансформатора ТРДН-40000/110:

Межі ре- гулю- вання	Кatalожні дані						Розрахункові дані		
	U _{ном} обмоток, кВ		U _K , %	ΔP _K , кВт	P _X , кВт	I _X , %	R _T , Ом	X _T , Ом	ΔQ _X , кВАр
	ВН	НН							
$\pm 9*1,78$ %	115	10,5/10,5	10,5	172	36	0,65	1,4	34,7	260

Коефіцієнт завантаження трансформатора: $K_3 = 0,52$

3.3 Визначення диференційного струмового захисту трансформатора, що виконаний з реле типу ДЗС-21

У цьому пункті виконано розрахунок диференційного струмового захисту трансформатора ТРДН-40000/110 кВ потужністю 40 МВА. Трансформатор має будоване регулювання напруги під навантаженням (РПН) [12].

Опір трансформатора (таблиця 1.7) – $R_T = 1,4 \text{ Ом}$, $X_T = 34,7 \text{ Ом}$

$$R_{T1} = R_{T2} = 0,5 \cdot R_T = 0,7 \text{ Ом.}$$

$$X_{T1} = X_{T2} = 0,5 \cdot X_T = 17,35 \text{ Ом.}$$

$$X_{BH} = 0,125 \cdot X_T = 0,125 \cdot 17,35 = 2,1688 \text{ Ом;}$$

$$X_{HH} = 1,75 \cdot X_T = 1,75 \cdot 17,35 = 30,3625 \text{ Ом}$$

При розрахунку струмів КЗ трансформаторів з РПН має бути враховувана зміна опору за рахунок регулювання напруги:

$$U_{\max,BH} = 1,1 \cdot U_{nom} = 126,5 \text{ кВ,}$$

$$U_{\min,BH} = 115 \cdot (1 - 0,16) = 96,577 \text{ кВ}$$

Для трансформаторів 110 кВ можна прийняти:

$$X_{T,min} = X_{T,nom} \cdot (1 - \Delta U)^2,$$

$$X_{T,max} = X_{T,nom} \cdot (1 + \Delta U)^2,$$

$$X_{BH,min} = 2,1688 \cdot (1 - 0,16)^2 = 1,53 \text{ Ом,}$$

Ізм	Лист	№ докум.	Подпись	Дата

$$X_{BH.\max} = 2,17 \cdot (1+ 0,16)^2 = 2,92 \text{ Ом},$$

$$X_{HH.\min} = 30,36 \cdot (1- 0,16)^2 = 21,416 \text{ Ом},$$

$$X_{HH.\max} = 30,36 \cdot (1+ 0,16)^2 = 40,87 \text{ Ом}$$

Опір енергосистеми $X_c = 51,619 \text{ Ом}$.

Знайдемо струм короткого замикання на шинах трансформатора:

$$I_{K.MAKC.BH} = \frac{U_{HOM}}{\sqrt{3} \cdot (X_c + X_{BH.MIH} + X_{HH.MIH})} = 0,7893 \text{ кА}$$

$$I_{K.MAKC.HH} = I_{K.MAKC.BH} \cdot \frac{U_{MAKC}}{U_{HH}} = 9,1 \text{ кА}$$

Мінімальне значення струмів КЗ:

Для цієї мережі $U_{\max} = 121 \text{ кВ}$, тоді:

$$I_{K.MIH.BH} = \frac{U_{MAKC}}{2 \cdot (X_c + X_{BH.MAKC} + X_{HH.MAKC})} = 596,6 \text{ А}$$

$$I_{K.MIH.HH} = I_{K.MIH.BH} \cdot \frac{U_{MAKC}}{U_{HH}} = 6,879 \text{ кА}$$

Визначимо первинні номінальні струми:

$$I_{BH.HOM} = \frac{S_{HOM}}{\sqrt{3} \cdot U_{BH.HOM}} = 201,06 \text{ А}$$

$$I_{HH.HOM} = \frac{S_{HOM}}{\sqrt{3} \cdot U_{HH.HOM}} = 2202,04 \text{ А}$$

Розрахунковим є реле типу ДЗС-21. Для нього реле струм спрацьовування захисту обирається з умов:

а) налагодження від кидка намагнічуючого струму:

$$I_{c.z} = k_{\text{здc}} \cdot I_{nom} = 1,5 \cdot 201,06 = 301,583 \text{ А}$$

б) налагодження від струму небалансу при КЗ на ВН:

Ізм	Лист	№ докум.	Подпись	Дата

$$I_{\kappa.\max}^{(3)} = \frac{U_{\text{ном}}}{\sqrt{3} \cdot (X_c + X_T)} = 0,848 \text{ kA}$$

$$I_{c.3} = k_3 \cdot (k_{\text{бід}} \cdot \varepsilon + \Delta U) \cdot I_{\kappa.\max}^{(3)} = 1,5 (1,0 \cdot 0,1 + 0,16) \cdot 848 = 0,3078 \text{ kA}$$

Струм спрацьовування захисту обираємо рівним 690 А.

Далі розрахунок параметрів зведемо в таблицю 3.1.

Таблиця 3.1 – Розрахункові параметри

Найменування величини	Позначення і метод визначення	110 кВ	10 кВ
Первинний струм на сторонах трансформатора, що захищається, А	$I_{\text{ном}} = \frac{S_{\text{ном.прох}}}{\sqrt{3} \cdot U_{\text{ном}}}$	201	2202
Схема з'єднання трансформаторів струму	—	Δ	Y
Коефіцієнт схеми	K_{CX}	$\sqrt{3}$	1
Коефіцієнт трансформації трансформаторів струму	K_I	600/5	6000/5
Вторинний струм в плечах захисту, А	$I_{\text{ном.В}} = \frac{I_{\text{ном}} \cdot K_{CX}}{K_I}$	2,89	3,17

Вторинні струми:

$$I_{B.\text{ном}} = \frac{I_{\text{ном}} \cdot K_{CX}}{K_I}$$

$$I_{B.\text{ном}_I} = \frac{201 \cdot \sqrt{3} \cdot 5}{600} = 2,89 \text{ A}, I_{B.\text{ном}_{II}} = \frac{2202 \cdot \sqrt{3} \cdot 5}{6000} = 3,17 \text{ A}$$

Оберемо відгалуження трансформаторів струму. Дані розрахунку наведемо в таблиці 3.2.

Ізм	Лист	№ докум.	Подпись	Дата

Таблиця 3.2 – Розрахунок трансформаторів струму

№ п/п	Найменування величини	Позначення і метод визна- чення	Числове зна- чення для сторони	
			110 кВ	10 кВ
1	Номінальний струм прий- нятого відгалуження транс- форматора на основній стороні, А	$I_{\text{ВІДГ.НОМ.ОСН}} \leq I_{\text{НОМ.В.ОСН}}$	2,89	—
2	Розрахунковий струм відга- луження автотрансфор- маторів струму на неоснов- них сторонах, А	$I_{\text{ВІДГ.РОЗР.НЕОСН}} =$ $= I_{\text{НОМ.В.НЕОСН}} \frac{I_{\text{ВІД.НОМ.ОСН}}}{I_{\text{НОМ.В.ОСН}}}$	—	$3,5 \frac{4,6}{4,6} = 3,5$
3	Тип автотрансформаторів струму, які включаються в плече захисту	—	—	АТ- 31
4	Номінальний струм використованого відгалу- ження автотрансформаторів струму, до якого підводяться вторинні струми в плечі за- хисту, А	—	—	3,6
5	Номер використованого відгалуження автотрансфор- маторів струму, до якого підводяться вторинні струми	—	—	1 – 9
6	Номер використованого відгалуження	—	—	1 – 11

	автотрансформаторів струму, до якого підключається реле			
--	---	--	--	--

Продовження таблиці 3.2

7	Номінальний струм використовуваного відгалуження автотрансформаторів струму, до якого підключається реле	$I_{NOM.VID_{TAV}}$	—	4,25
8	Номінальний струм прийнятого відгалуження трансреактора реле на неосновних сторонах, А	—	—	4,6
9	Номер використовуваного відгалуження трансреактора реле	—	7	5
10	Розрахунковий струм відгалуження проміжних трансформаторів струму кола гальмування реле, А	$I_{VID.GALYM.NOM}$	4,6	$\frac{3,5 \times 4,6}{3,6} = 4,47$
11	Номінальний струм прийнятого відгалуження приставки і проміжних трансформаторів струму, А	$I_{VID.GALYM.NOM}$	5	5
12	Номер використовуваного відгалуження приставки і проміжних трансформаторів струму реле	—	1	1

Визначаємо первинний гальмовий струм, що відповідає початку гальмування

[12]:

Ізм	Лист	№ докум.	Подпись	Дата

$$I_{\text{гал.поч.п}} = 1,2 \cdot I_{\text{ном}} \left(k_{\text{струмII}} \frac{I_{\text{відг.гал.номII}}}{I_{\text{відг.гал.розрII}}} \right) = 248,22 \text{ A}$$

де $k_{\text{струм.II}} = 1$ – коефіцієнт струморозподілу, для сторін II (10 кВ) в розглянутому режимі.

Визначаємо струм небалансу в режимі, відповідному початку гальмування:

$$I_{\text{нб.гальм.поч}} = \left(k_{\text{неп}} \cdot k_{\text{одн}} \cdot \varepsilon + \Delta U \cdot k_{\text{II}} + \frac{I_{\text{відв.розр.II}} - I_{\text{відв.ном.II}}}{I_{\text{відв.розр.II}}} \right) I_{\text{гальм.поч}} = 148,5243 \text{ A}$$

Визначимо первинний мінімальний струм спрацьовування захисту (його чутливого органу) за такими умовами:

- 1) налагодження від розрахункового первинного струму небалансу в режимі, що відповідає початку гальмування:

$$I_{c.z.m\min} \geq k_{\text{від}} I_{\text{нб.гальм.поч}} = 222,786 \text{ A};$$

- 2) налагодження від кидка струму намагнічування:

$$I_{c.z.m\min} = 0,3 I_{\text{ном}} = 60,3 \text{ A}$$

Для розрахунку приймається більше з отриманих розрахункових значень:

$$I_{c.z.m\min} = 222,786 \text{ A}$$

Розраховуємо відносний мінімальний струм спрацьовування реле (його чутливого органу) при відсутності гальмування. За розрахункову приймаємо сторону ВН.

$$I_{*c.p.m\min} = \frac{I_{c.z.m\min} \frac{U_{cp.\text{ном}}}{U_{\text{номII}}} k_{cx}}{K_I K_{TL} I_{\text{відв.номTAV}}} = 0,83$$

Ізм	Лист	№ докум.	Подпись	Дата

Знаходимо максимальний розрахунковий струм небалансу $I_{\text{НБ.Розр}}$ при зовнішньому трифазному КЗ на стороні низької напруги:

Визначаємо коефіцієнт гальмування захисту:

$$K_{\text{гальм}} = \frac{k_3 I_{*\text{нб.розр}} \frac{I_{\text{в.ном.осн}}}{I_{\text{відв.ном.осн}}} - I_{*\text{ср.мін}}}{0,5 \cdot \sum I_{*\text{гальм.розр.п}} \frac{I_{\text{відв.гал.розр.п}}}{I_{\text{відв.гальм.ном.п}}} - I_{*\text{гальм.поч}}} = 3,3175$$

де $I_{\text{в.ном.осн}}$, $I_{\text{відв.ном.осн}}$, $I_{\text{відв.гал.розр.п}}$, $I_{\text{відв.гальм.ном.п}}$ – значення струмів;

$I_{*\text{гал.поч}} = 0,6$ – відносний вторинний струм початку гальмування, так як гальмування здійснюється тільки від груп ТС на приймальних сторонах.

Знаходимо первинний струм спрацьовування відсічення за умови налагодження від максимального первинного струму небалансу при перехідному режимі зовнішнього КЗ на шинах 110 кВ:

$$I_{c.\text{відс.розр}} = k_{\text{від}} \cdot I_{\text{нб.розр}} = 620 \text{ A},$$

де

$$I_{\text{нб.розр}} = \left(k_{\text{неп}} k_{\text{одн}} \mathcal{E} + \Delta U_{II} k_{\text{струмII}} + \frac{I_{\text{відв.розрII}} - I_{\text{відв.номII}}}{I_{\text{відв.розрII}}} \right) I_{\kappa.\text{макс}}^{(3)} = 413 \text{ A}$$

Знаходимо відносний розрахунковий струм спрацьовування відсічення [14]:

$$I_{*\text{c.відс.розр}} = \frac{I_{c.\text{відс.розр}} \cdot k_{cx}}{K_I K_{TL} I_{\text{відв.номTAV}}} = 2,483$$

Відносну уставку відсічення приймаємо рівною 6, що відповідає струму

Ізм	Лист	№ докум.	Подпись	Дата

спрацьовування відсічення:

$$I_{c.eidc} = 6 \cdot I_{eide.nom} = 755 \text{ A.}$$

Коефіцієнт чутливості захисту (його чутливого органу) при КЗ між фазами на стороні низької напруги:

$$k_u^{(m)} = \frac{I_{\kappa.min}^{(m)} \cdot K_{cx.n}^{(m)}}{I_{c.z} \cdot K_{cx.n}^{(3)}} = 1,938$$

Коефіцієнт чутливості є більшим двох, що задовольняє умову установки захисту.

Изм	Лист	№ докум.	Подпись	Дата
-----	------	----------	---------	------

3.4 Забезпечення захисту від надструмів при зовнішніх КЗ

(Максимальний струмовий захист)

Максимальний захист потрібен для відключення трансформатора при КЗ на збірних шинах чи приєднаннях, що відходять від них, якщо РЗ, або вимикачі цих елементів не спрацьовують. Одночасно також РЗ від зовнішніх КЗ використовується для захисту від пошкодження в трансформаторі. За умов селективності МСЗ повинен мати витримку часу, а тому швидкодіючим бути не може. А тому в якості основного РЗ від пошкоджень в трансформаторах він може використовуватися тільки на малопотужних трансформаторах. На трансформаторах, які вже мають спеціальний РЗ від внутрішніх пошкоджень, РЗ від зовнішніх КЗ використовується як резервний до цього захисту у випадку його відмови.

МСЗ може виконуватися на базі мікропроцесорного пристрою релейного захисту, автоматики та управління приєднань УЗА-10А.2. Він призначається для використання в схемах релейного захисту, а також протиаварійної автоматики для захисту електричних машин, трансформаторів та ліній електропередач при короткому замиканні і перевантаженні, та для управління і телемеханіки приєднання. Живиться пристрій УЗА10А.2 - від джерела як постійного, так і змінного оперативного струмів. Від кіл змінного струму проводиться комбіноване живлення від струму і напруги, отже захист може працювати тільки від струму короткого замикання.

Робочий діапазон температур від -25°C до $+50^{\circ}\text{C}$ (розширенний від -40°C до $+70^{\circ}\text{C}$).

Функції пристрою:

- двофазний (трифазний) МСЗ (можлива заміна на захист від перевантаження);
- струмове відсічення 2 ступені: СО1, СО2;
- захист від замикань на землю (ЗНЗ);
- прискорення МСЗ при включені вимикача;
- дистанційне включення і відключення вимикача;

Ізм	Лист	№ докум.	Подпись	Дата
-----	------	----------	---------	------

- контроль і управління вимикачем;
- зовнішнє блокування захисту;
- пуск УРОВ;
- одноразове АПВ;
- вимір струмів фаз і струму ЗНЗ;
- запам'ятовування струму КЗ (на замовлення - 5 подій, фіксація струму і часу КЗ);

Ізм	Лист	№ докум.	Подпись	Дата

БР.5.6.141.438.ПЗ.ЕТ

Лист
48

4 Розгляд організаційних заходів для зменшення втрат електричної енергії в мережі

4.1 Вивід з роботи трансформаторів на підстанціях з сезонним навантаженням

На підстанціях, що живлять споживачів першої та другої категорій, а також на районних підстанціях енергосистеми, зазвичай встановлюється два і більше трансформаторів. При цьому може бути їх роздільна і паралельна робота.

Кожен з трансформаторів при роздільній роботі включається на виділену секцію шин. При цьому відбувається зниження струмів короткого замикання за трансформаторами, що впливає на полегшення роботи обладнання і комутаційних апаратів. Але даний режим роботи трансформаторів є менш економічним у порівнянні з режимом паралельної роботи трансформаторів. Тому найбільш економічний режим відповідає навантаженню трансформаторів, пропорційному їх номінальній потужності. У випадку, коли їх параметри однакові, настає економічний розподіл навантажень між паралельно працюючими трансформаторами [17].

При роботі підстанції за таким графіком мінімум приведених витрат на трансформацію електроенергії відповідає мінімуму втрат потужності в трансформаторах. Отже, граничне значення навантаження, при якому доцільне відключення одного з паралельно працюючих трансформаторів, визначаємо з рівності втрат потужності в **n** і **n-1** трансформаторах.

Відключення одного з **n** однотипних трансформаторів буде доцільним в режимах, при яких навантаження трансформаторів **S** в мегавольтамперах [17]:

$$S \leq S_{\text{нт}} \cdot \sqrt{\frac{n \cdot (n-1) \cdot \Delta P_x}{\Delta P_k}}, \quad (4.1)$$

де **S_{нт}** – сума номінальних потужностей трансформаторів, МВА;

ΔP_x – втрати холостого ходу трансформаторів, МВт;

ΔP_k – втрати короткого замикання трансформаторів, МВт.

При паралельній роботі різnotипних трансформаторів важливо, щоб їх потужності відрізнялися не більше ніж 1:3, напруги короткого замикання

Ізм	Лист	№ докум.	Подпись	Дата
-----	------	----------	---------	------

відрізнялися не більше ніж на $\pm 10\%$, напруги відгалужень - не більш ніж на $\pm 0,5\%$, а групи з'єднання обмоток були однакові [17].

При цьому навантаження трансформаторів буде несуттєво відрізнятися від економічного через появу зрівнювальних струмів. Розподіл навантаження між паралельно працюючими трансформаторами є прямопропорційним їх номінальній потужності і обернено пропорційним напругам короткого замикання. В разі збільшення номінальної потужності трансформаторів їх напруга короткого замикання теж буде збільшуватися. Отже, при паралельній роботі трансформаторів з однаковими групами з'єднань обмоток більше будуть завантажуватися менш потужні трансформатори, а трансформатори з більшою номінальною потужністю будуть недовантаженими в порівнянні з економічним розподілом навантажень.

При n різnotипних трансформаторів граничне значення навантаження, при котрому доцільне відключення одного з них, визначаємо з умови [17]:

$$\sum_{i=1}^n \Delta P_{Xi} + \left(\frac{S}{\sum_{i=1}^n S_{HTi}} \right)^2 \cdot \sum_{i=1}^n \Delta P_{Ki} = \sum_{i=1}^{n-1} \Delta P_{Xi} + \left(\frac{S}{\sum_{i=1}^{n-1} S_{HTi}} \right)^2 \cdot \sum_{i=1}^{n-1} \Delta P_{Ki}. \quad (4.2)$$

У лівій частині виразу проводимо підсумування даних усіх трансформаторів, а в правій – підсумовуємо без одного з них. Підрахувавши значення правої частини при відключенні кожного з трансформаторів (якщо їх кількість велика, можливе попарне відключення), отримуємо ряд значень S , при яких доцільне відключення того чи іншого з трансформаторів.

Наприклад, відключення одного з трьох трансформаторів доцільне, коли[17]:

$$S \leq \sqrt{\frac{\Delta P_{X3} \cdot S_{HT2}^2 \cdot S_{HT3}^2}{(\Delta P_{K1} + \Delta P_{K2}) \cdot S_{HT3}^2 - (\Delta P_{K1} + \Delta P_{K2} + \Delta P_{K3}) \cdot S_{HT2}^2}}, \quad (4.3)$$

де ΔP_{X3} – втрати холостого ходу в трансформаторі, що відключається, МВт;

Ізм	Лист	№ докум.	Подпись	Дата

S_{HT2} , S_{HT3} – сума номінальних потужностей двох і трьох трансформаторів, МВА;

ΔP_{K1} , ΔP_{K2} , ΔP_{K3} – втрати КЗ в першому, другому і третьому трансформаторах, МВт.

Відключення одного з двох або більше трансформаторів, встановлених на підстанції, буде доцільним, коли їх максимальне навантаження не перевищує 40-45% сумарної номінальної потужності трансформаторів.

Планове та фактичне зниження втрат електроенергії при відключенні трансформатора в МВт·годинах визначаємо за формулою (тис.кВт·г) [17]:

$$\delta W = (\delta W_H - \delta W_X) \cdot 0,001, \quad (4.4)$$

де δW_X – зниження втрат холостого ходу, кВт·г;

δW_H – збільшення навантажувальних втрат, кВт·г;

δW_X і δW_H – визначаємо за формулами (тис.кВт·г):

$$\left. \begin{aligned} \delta W_X &= \sum_{j=1}^k \delta P_{Xj} \cdot t_j \\ \delta W_H &= \sum_{j=1}^k \delta P_{Hj} \cdot t_j \end{aligned} \right\}, \quad (4.5)$$

де δP_{Xj} – зниження втрат потужності холостого ходу в j-му періоді, що триває t_j при відключенні того чи іншого трансформатора, МВт;

δP_{Hj} – збільшення навантажувальних втрат потужності в j-му періоді, МВт,

що дорівнює $\Delta P_{Hj}^{n-1} - \Delta P_{Hj}^n$;

k – кількість характерних періодів,

t_j – тривалість j-го періоду, год.

Навантажувальні втрати потужності в n трансформаторах в j-му періоді ΔP_{Hj}^n в мегаватах визначаємо [17]:

Изм	Лист	№ докум.	Подпись	Дата

$$\Delta P_{Hj}^n = \left(\frac{S_{Hj}}{\sum_{j=1}^n S_{HTj}} \right)^2 \cdot \sum_{j=1}^n \Delta P_{Kj}, \quad (4.6)$$

де S_{Hj} - середнє навантаження підстанції, МВА, за час t_j ,

S_{HTj} - номінальна потужність j -го трансформатора, МВА;

ΔP_{Kj} - навантажувальні втрати j -го трансформатора, МВА;

n - число трансформаторів.

Відключення трансформаторів менш ніж на 2 год не є доцільним.

Якщо навантаження підстанції розподіляється між трансформаторами пропорційно їх потужності, роздільна робота дещо покращує їх режим роботи. Під час провалів добового і річного графіків навантажень, частину трансформаторів було б доцільним відключати при наявності схеми АВР на комутаційних апаратах відключених (резервних) трансформаторів. За рахунок зниження втрат холостого ходу в трансформаторах знижуються втрати потужності і енергії.

До значного зменшення втрат холостого ходу призвело використання в трансформаторах високоякісної холоднокатаної електротехнічної сталі [17], тому відключення цих трансформаторів на час провалів графіків навантаження стало менш ефективним. Доцільнішою є їх паралельна робота, а при значному розходженні номінальних потужностей, напруг короткого замикання, чи регулювальних відгалужень - роздільна робота на виділені частини навантаження при АВР на секційному вимикачі.

Графіки навантаження районних підстанцій 330 (220) кВ і вище є більш щільними, трансформатори (автотрансформатори) на таких підстанціях на протязі року несуть навантаження, як правило, не нижче 50 % номінального [17]. Врахування фактора надійності відключення частини трансформаторів на таких підстанціях не завжди буде обґрунтованим, так як зниження втрат потужності і енергії може стати незрівнянно меншим шкоди від очікуваного зниження рівня надійності схеми підстанції, погіршення режимів роботи комутаційних апаратів,

Ізм	Лист	№ докум.	Подпись	Дата

витрат на протиаварійну автоматику. Окрім того, в режимах мінімальних навантажень трансформатори 220 кВ і вище доцільно використовувати, як споживачів надлишкової зарядної потужності ліній, щоб зменшити споживання реактивної потужності для даних режимів генераторами електростанцій.

Якщо узагальнити, то задача оптимізації режимів трансформаторів відноситься до розряду варіаційних екстремальних задач.

Доцільність відключення паралельних ліній в режимі найменших навантажень визначаємо аналогічними формулами. При цьому розрахунки, аналізуючи ефективність відключення паралельних ліній і трансформаторів, повинні бути виконані при обліку електричної мережі більш високої напруги.

4.2 Нівелювання навантажень фаз в електричних мережах 0,38 кВ

До трьохфазних мереж 380 В в містах і селах підключається велика кількість однофазних ЕП, які приєднуються між однією з фаз та нульовим проводом. Їх підключення потрібно проводити, за можливості, рівномірно між фазами. Однак, струми фаз I_A , I_B і I_C в тій чи іншій мірі виявляються неоднаковими [17].

Розрізняють ймовірну несиметрію, яка має перемежувальний характер з більшим навантаженням то однієї, то іншої фази, та систематичну несиметрію, при якій середні значення навантажень різні (неоднакові). Перший вид несиметрії можливо усунути лише спеціальними пристроями, наприклад, з тиристорним управлінням, перемикаючим частину навантажень з перевантаженої фази на недовантажену. Систематична ж несиметрія знижується шляхом періодичного (1-2 рази на рік) перерозподілу навантажень між фазами.

В силу нерівності, нерівномірне навантаження фаз не тільки збільшує втрати електроенергії в фазах:

$$I_A^2 + I_B^2 + I_C^2 \geq 3I_{cp}^2,$$

а також створює додаткові втрати за рахунок проходження струму по нульовому проводу.

Ізм	Лист	№ докум.	Подпись	Дата

Планове і фактичне зниження втрат електроенергії за рахунок усунення систематичної несиметрії (нерівномірного розподілення струмових навантажень по фазах) $\delta W_{\text{пл.ф}}$ в мегават-годинах визначаємо за формулою:

$$\delta W_{\text{пл.ф}} = \Delta W \cdot m \cdot (K_{n1} - K_{n2}), \quad (4.7)$$

де ΔW – втрати енергії в мережі 0,38 кВ при рівномірному завантаженні фаз, МВт·г;

K_{nec1} , K_{nec2} - коефіцієнти систематичної несиметрії до і після симетрування, відн.од.;

m – число проводів у фазі.

Знаходимо квадрат коефіцієнта нерівномірності навантаження фаз i - i ділянки:

$$N_i^2 = \frac{I_{Ai}^2 + I_{Bi}^2 + I_{Ci}^2}{3 \cdot I_{Cpi}^2},$$

де I_A , I_B , I_C - середні значення струмів фаз за період з 17 до 23 год. (не менше, ніж три виміри),

I_{Cp} – їх середнє значення, А;

Збільшення втрат потужності у функції коефіцієнта нерівномірності оцінюється коефіцієнтом несиметрії, що визначаємо для чотирьохпровідної мережі за формулою:

$$K_{neci} = N_i^2 \cdot \left(1 + 1,5 \cdot \frac{R_N}{R_\phi} \right) - 1,5 \cdot \frac{R_N}{R_\phi}, \quad (4.8)$$

де R_N/R_ϕ - відношення опорів нульового і фазного проводів, відн.од.

При цьому для i -ї ділянки двохпровідної лінії $K_{neci} = 1$, а для трьохпровідної $K_{neci} = N_i^2$.

4.3 Виключення неякісних з'єднань проводів ліній

До 20 % можуть збільшити величину загальних втрат електроенергії в лініях неякісні з'єднання, скрутки. Виявити неякісні з'єднання можливо за рахунок

Ізм	Лист	№ докум.	Подпись	Дата

визначення струмів короткого замикання, балансів електроенергії та при застосуванні тепловізорів і ін.

4.4 Пониження витрат електроенергії для власних потреб підстанцій

Пониження витрат на власні потреби підстанцій визначається по відношенню до нормативів витрат, встановлених [РД 34.09.208-81] і розраховується працівниками ПЕМ дляожної з підстанцій, де є споживачі та лічильники електричної енергії власних потреб.

Ці нормативи при цьому систематично уточнюються, виходячи з фактичних витрат. Економія витрат електроенергії на власні потреби здійснюється за рахунок раціоналізації режимів роботи електрообігріву виробничого приміщення підстанцій, а також обігріву приводів вимикачів у ВРП, оптимізацією режимів роботи вентиляторів обдуву трансформаторів і т.ін.

Зокрема, значну економію дасть установка і надійна робота автоматики включення - відключення пристрою електрообігріву і обдуву. Значно перспективним є обладнання трансформаторів та автотрансформаторів підстанцій установками відбору тепла, що постачається до будівель управління підстанцій і житлових приміщень для обслуговуючого персоналу.

Виходячи з досвіду минулих років і передбачуваного обсягу заходів з економії витрат електроенергії на власні потреби на планований період, визначається плановане зниження витрати електроенергії на власні потреби підстанцій.

Фактичне зниження витрати електроенергії на власні потреби δW_{ϕ} в мегават-годинах знаходимо як різницю між встановленою нормою витрати і фактичною витратою електроенергії, яка фіксується показаннями лічильників власних потреб:

$$\delta W_{\phi} = W_{CH}^{norm} - W_{CH}^{fact}, \quad (4.9)$$

де W_{CH}^{norm} - встановлена норма витрати електроенергії, МВт·г;

Ізм	Лист	№ докум.	Подпись	Дата

$W_{CH}^{факт}$ - фактичні витрати електроенергії, МВт·г.

4.5 Зменшення часу на технічне обслуговування і ремонт основного обладнання електричних мереж

Цей захід найбільш ефективний для транзитних ліній електропередачі великої пропускної здатності автотрансформаторів зв'язку і т.ін., відключення яких призводить до значного підвищення втрат в мережі. Зменшення тривалості таких відключень можна досягти поліпшенням організації робіт, за рахунок проведення ремонтів за необхідності (за технічним станом обладнання), поєднанням ремонтів послідовно включених елементів мережі, проведенням ремонтів за оптимальним графіком, виконанням ремонтів пофазних і під напругою і т.п.

Плановану і фактичну ефективність від проведення заходу слід визначати лише для таких робіт, які мають нормативи тривалості проведення. У такому випадку енергосистемам рекомендовано для типових ремонтних схем мати дані про підвищення втрат електроенергії в електромережах при відключені на 1 годину окремих ліній та обладнання підстанції. За цими даними можна знайти середньорічне зниження втрат електроенергії від виконання заходу, який був використаний для обчислення планованого зниження втрат δW_B в мегават-годинах за формулою:

$$\delta W_B = \frac{\delta W_{СЕР.Г} \cdot \Delta W_{п.СЕТИ}}{100}, \quad (4.10)$$

де $\delta W_{СЕР.Г}$ - середньорічне зниження втрат електроенергії у відсотках від сумарних втрат в мережах, МВт · год;

ΔW_B - плановані втрати електроенергії в мережах, на які цей захід має вплив, МВт · год.

Середньорічне зниження втрат повинно підлягати щорічному коригуванню на підставі отриманого досвіду експлуатації, а також планів капітальних та поточних ремонтів.

Фактичне зниження втрат визначається наступним чином.

Ізм	Лист	№ докум.	Подпись	Дата

Наприклад, при зменшенні на час ΔT тривалості ремонту генератора, синхронного компенсатора, лінії, чи трансформатора зв'язку, в основній замкнuttй мережі системи напругою 10 кВ і вище зниження втрат електроенергії δW_F в мегават-годинах визначаємо за формулою:

$$\delta W_F = \Delta T \cdot \left[(\Delta P_{1H} - \Delta P_{2H}) \cdot \left(\frac{P_{CP}}{P_{MAX}} \right)^2 - (\Delta P_{2X} - \Delta P_{1X}) \right] \quad (4.11)$$

де ΔP_{1H} , ΔP_{2H} – навантажувальні втрати потужності в основній мережі системи в максимум її навантаження відповідно при відключенному і включеному елементі, МВт, (визначаються для робочих режимів за програмами оптимізації);

P_{CEP} – середнє за час ΔT активне навантаження системи в цілому, МВт;

P_{MAX} – максимальне активне навантаження сумарного графіка навантаження власних споживачів системи в цілому контрольний день взимку, МВт;

ΔP_{1X} і ΔP_{2X} - втрати холостого ходу в мережі системи при відключенному і включеному елементі (для ліній дорівнюють нулю), МВт,

ΔT -скорочення тривалості технічного обслуговування і ремонту устаткування, год.

При скороченні тривалості ремонту одного з трансформаторів центру живлення радіальної мережі, чи одного з кіл паралельно працюючих радіальних ліній, втрати враховуються тільки в паралельних елементах, один з яких відключається. Значення P_{CEP} і P_{MAX} відносяться при цьому до навантаження вказаних елементів.

4.6 Проведення робіт під напругою

Значний ефект щодо зниження втрат електроенергії отримаємо при проведенні робіт під напругою в замкнутих електричних мережах енергосистем

Ізм	Лист	№ докум.	Подпись	Дата

напругою 220 кВ і вище. Зниження втрат електричної енергії досягається в результаті зменшення тривалості неоптимальних ремонтних режимів електричних мереж.

Зважаючи, що роботи під напругою, що виконуються на ПЛ 20-750 кВ, впливають на втрати електроенергії багатьох пов'язаних цими ПЛ енергосистем, ефект повинен розраховувати Національний диспетчерський центр (НДЦ) України.

Зниження втрат від впровадження заходу δW в мегават-годинах визначається за формулою:

$$\delta W = \sum_{i=1}^m \delta P_i \cdot T_i, \quad (4.12)$$

де δP_i – зниження втрат потужності в основній електричній мережі енергооб'єднання при середніх загрузках за період, протягом якого виконуються роботи під напругою на i -й лінії, МВт. Розраховується, як правило, в НДЦ України, ЦДС енергосистем за програмами розрахунку усталених режимів як різниця втрат потужності в мережі при відключений і включеній i -й лінії, МВт. Якщо на частині ПЛ роботи під напругою виконуються одночасно, то розрахунок δP_i для такої групи ліній потрібно проводити при припущені, що вони одночасно відключенні;

m - число ліній, на яких проводяться роботи під напругою протягом року;

T_i - час, протягом якого потрібно було б проводити ремонтні роботи з відключенням i -ї лінії в обсязі, що виконується під напругою, год.

4.7 Ввід до роботи невикористовуваних коштів автоматичного регулювання напруги (АРН)

Захід впроваджується на підстанціях, де встановлені на трансформаторах РПН пристрої автоматичного регулювання напруги з деяких причин переведені в режим дистанційного управління.

Ізм	Лист	№ докум.	Подпись	Дата

Основний ефект від впровадження заходу відбувається за рахунок підвищення можливості регулювання напруги.

Фактичне зниження втрат електроенергії визначаємо як різницю значень, отриманих відповідно до і після впровадження заходу.

Иzm	Лист	№ докум.	Подпись	Дата
-----	------	----------	---------	------

БР.5.6.141.438.ПЗ.ЕТ

Лист
59

Висновки

При виконанні даної роботи проведено розрахунок параметрів електричної мережі, визначено напруги у вузлах мережі, втрати напруги та потужності в мережі.

Виконано розрахунок електричної частини підстанції, проведено вибір комутаційного вимірювального обладнання; в процесі розрахунку визначено сумарну потужність споживань підстанції. На підставі графіка навантаження споживачів протягом доби проведено вибір потужності силового трансформатора.

Виходячи з забезпечення надійності електропостачання в нормальніх і післяаварійних режимах, враховуючи перспективи розвитку та можливість виконання ремонтних і експлуатаційних робіт, зроблено вибір головної схеми електричних з'єднань підстанцій. Враховуючи навантаження, обрані електровимірювальні трансформатори.

Розраховано електричні перехідні процеси в електричній мережі, в результаті розрахунку визначені зверхперехідний та ударний струми при симетричному трифазному замиканні.

Виконано основний релейний захист трансформаторів (диференційний струмовий захист), визначено уставки спрацьовування захисту і забезпечена чутливість захисту.

Проведено аналіз організаційних заходів по зменшенню втрат електроенергії в мережі.

Ізм	Лист	№ докум.	Подпись	Дата
-----	------	----------	---------	------

Література

- 1 Електричні мережі та системи. Підручник. Сегеда М.С. / Третє видання, доповнене та перероблене. Львів: Видавництво Львівської політехніки, 2015. 540 с. ISBN 978-617-607-831-9
- 2 Електричні системи та мережі : конспект лекцій / укладачі: І. Л. Лебединський, В. І. Романовський, Т. М. Загородня. – Суми: Сумський державний університет, 2018.– 214 с.
- 3 3202 Методичні вказівки до виконання курсового проекту на тему „Розрахунок замкнутої електричної мережі” з курсу „Електричні системи та мережі” / укладачі: І. Л. Лебединський, С. М. Лебедка, В. І. Романовський, В. В. Волохін. – Суми: Сумський державний університет, 2011. – 40 с.
- 4 Правила улаштування електроустановок - 5-те вид., переробл. й доповн. – Хар'ков, Форт, 2017. – 782 с.
- 5 <http://www.energyland.info/files/library/487586c140e2946c28be316bcdb800a3.pdf>
- 6 Розрахунки електричних мереж при їх проектуванні. Навчальний посібник. Лук'яненко Ю.В., Остапчук Ж.І., Кулик В.В. / Вінниця: ВДТУ, 2002.– 116 с.
<http://kulykvv.vk.vntu.edu.ua/file/posibn/cf207246a5ffede8257f5b865a7b60d9.pdf>
- 7 СОУ-Н ЕЕ 40.1-37471933-54:2011. Визначення технологічних витрат електричної енергії в трансформаторах і лініях електропередавання. Київ. Міністерства енергетики та вугільної промисловості України № 399 від 21.06.2013.
- 8 Гаряжа В. М. Конспект лекцій з курсу «Електрична частина станцій та підстанцій» (частина 1) (для студентів денної та заочної форм навчання спеціальності 141 – Електроенергетика, електротехніка та

Ізм	Лист	№ докум.	Подпись	Дата

БР.5.6.141.438.ПЗ.ЕТ

Лист
61

- електромеханіка) / В. М. Гаряжа, А. О. Карюк; Харків. нац. ун-т міськ. госп-ва ім. О. М. Бекетова. – Харків : ХНУМГ ім. О. М. Бекетова, 2018. – 149 с.
http://eprints.kname.edu.ua/48453/1/2015_%D0%BF%D0%B5%D1%87_89%20%D0%9B%20%D0%9A%D1%83%D1%80%D1%81%20%D0%BB%D0%B5%D0%BA.pdf
- 9 Методичні вказівки до практичних занять з курсу «Електрична частина станцій та підстанцій» (для слухачів другої вищої освіти спеціальності 7.05070103 – Електротехнічні системи електроспоживання (за видами)) / Харків. нац. ун-т. міськ. госп-ва ім. О. М. Бекетова; уклад. : В. М. Гаряжа, Є. Д. Дьяков, Г. В. Капустін. – Х. : ХНУМГ ім. О. М. Бекетова, 2015.– 44 с.
- 10 Сегеда М.С., Гапанович В.Г., Олійник В.П., Покровський К.Б. Проектування структурних схем електростанцій та підстанцій: навч. посіб. – Львів: Вид-во НУ «ЛП», 2010.
- 11 Кідиба В.П. Релейний захист електроенергетичних систем: Підручник. – Львів: Вид-во НУ «Львівська політехніка», 2015. – 504 с.
- 12 Методичні вказівки до проведення практичних занять з курсу «Релейний захист та автоматика» / Харк. нац. ун-т. міськ. госп-ва ім. О. М. Бекетова; уклад.: Д. С. Шимук. – Х.: ХНУМГ, 2013 – 60 с.
- 13 Переходні процеси в системах електропостачання: підручник для ВНЗ / Г.Г. Півняк, І.В. Жежеленко, Ю.А. Папаїка, Л.І. Несен, за ред. Г.Г. Півняка ; М-во освіти і науки України, Нац. гірн. ун-т. – 5-те вид., доопрац. та допов. – Дніпро : НГУ, 2016. – 600 с
<http://eir.pstu.edu/handle/123456789/24688>
- 14 ДСТУ IEC 60909-0:2007. Струми короткого замикання у трифазних системах змінного струму. Частина 0. Обчислення сили струму (IEC 60909-0:2001, IDT).
- 15 ДСТУ IEC 60909-4:2008. Струми короткого замикання у трифазних системах змінного струму. Частина 4. Приклади обчислення сили струму короткого замикання (IEC TR 60909-4:2000, IDT).

Изм	Лист	№ докум.	Подпись	Дата

- 16 ГНД 34.09.204-2004. Методичні вказівки з аналізу технологічних витрат електроенергії та вибору заходів щодо їх зниження / М-во палива та енергетики України. – Офіц. вид. – К.: ГРІФРЕ: М-во палива та енергетики України, 2004. – 159 с.
- 17 ГОСТ 11677-85 Трансформаторы силовые. Общие технические условия (Трансформатори силові. Загальні технічні умови).
- 18 ГНД 34.09.104-2003 Методика складання структури балансу електроенергії в електричних мережах 0,38 - 150 кВ, аналізу його складових і нормування технологічних витрат електроенергії (із змінами, внесеними наказом МПЕ України від 03.02.2009 № 52).
- 19 Правила технічної експлуатації електроустановок споживачів, текст «Правил» відповідає офіційному тексту нової редакції, яка затверджена Наказом Міністерства палива та енергетики України від 13.02.2012 №91, зі змінами та доповненнями від 16.11.2012 (наказ № 905), від 16.05.2013 (наказ № 273), та від 11.01.2017 (наказ № 7).

Изм	Лист	№ докум.	Подпись	Дата
-----	------	----------	---------	------

БР.5.6.141.438.ПЗ.ЕТ

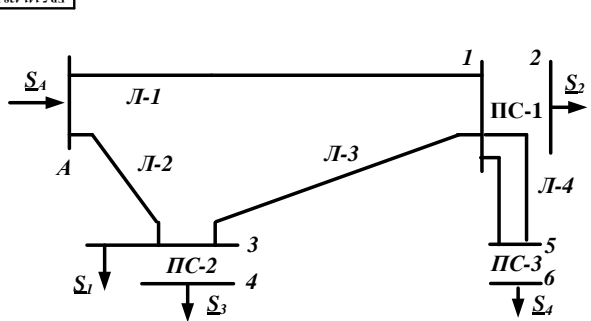
Лист
63

Инв.№подп.	Подпись и дата	Взам.инв.№	Инв.№зубл.	Подпись и дата
Зим	Арк	№ докум.	Підпис	Дата
Розроб.	Кізім В. Ю			
Перев.	Лебединский І.			
Нач.бюро				
Н. контр.				
Затв.	Лебединский І.			

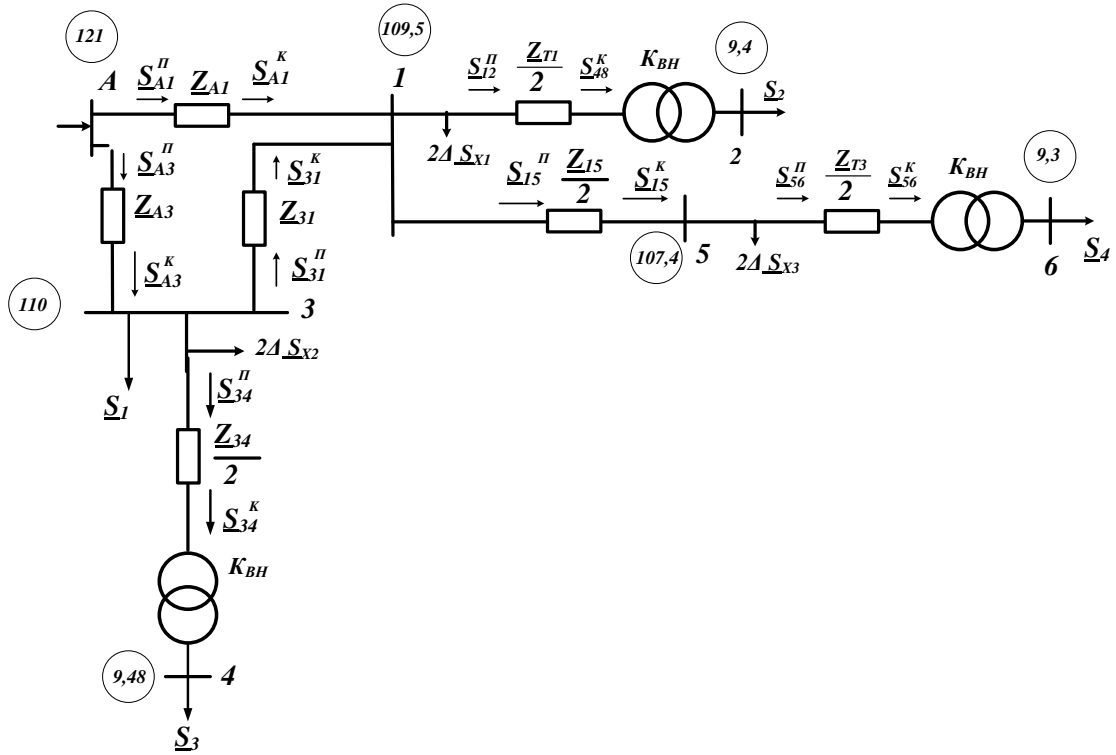
БР.5.6.141.438.ПЗ.ЕТ

“ Аналіз організаційних заходів по зменшенню втрат електроенергії в мережі і розрахунок її параметрів”

Літ.	Аркуш	Аркушів
У	5	64
СумДУ ЕГДН-04п		



Початкова схема мережі



Розрахункова схема заміщення мережі

Потужності навантажень

$$\underline{S}_1 = 25 + j \, 20 \text{ MBA}$$

$$\underline{S}_2 = 45 + j \, 35 \text{ MBA}$$

$$\underline{S}_3 = 30 + j20 \text{ MBA}$$

$$\underline{S}_4 = 20 + j15 \text{ MBA}$$

Категорія споживача

$$\underline{\mathbf{S}}_1 = \mathbf{I}$$

$$\underline{\mathbf{S}}_2 = \mathbf{I}$$

$$\underline{\mathbf{S}}_3 = \mathbf{I}$$

$$\underline{\mathbf{S}}_4 = \mathbb{I}$$

Довжина ліній

L-1 30 km

J-2 35 km

L-3 25 km

L-4 30 km

Потужності на ділянках мережі

Позн	Початок	Кінець
<u>S₄</u>	$129+j121$	
<u>S₄₁</u>	$70,06+j67,23$	$65,28+j59,06$
<u>S₁₃</u>	$12,342+j3,81$	$-0,44-j4,22$
<u>S₄₃</u>	$59,5+j54,2$	$55,63+j47,57$
<u>S₃₄</u>	$30,14+j23$	$30+j20$
<u>S₁₂</u>	$45,2+j39,66$	$45+j35$
<u>S₅₆</u>	$20,45+j22,27$	$20,12+j21,79$
<u>S₁₅</u>	$15,14+j16,44$	$20,1+j22,2$

